

UDC 65.012  
629.76

# 航空宇宙技術研究所資料

TECHNICAL MEMORANDUM OF NATIONAL AEROSPACE LABORATORY

TM-145

スピニを伴うロケットの運動を計算するプログラム

戸川隼人・石黒登美子  
山本浩通

1968年8月

航空宇宙技術研究所  
NATIONAL AEROSPACE LABORATORY

## 既 刊 資 料

TM-102 弾性支持片持板の振動	1967年3月	塙 武敏, 築地 恒夫 越出慎一, 林 洋一
TM-103 結合梁の振動について	1967年3月	築地 恒夫, 林 洋一
TM-104 平板翼模型の固有振動モードの測定	1967年4月	中井暎一, 森田甫之
TM-105 非定常境界層方程式を含む放物型微積分方程式の数値解法	1967年4月	関口 清子
TM-106 動安定微係数測定用風胴天秤について	1967年5月	高島 一明, 桦原盛三 原 直利, 北出大三 金成正好
TM-107 プロペラ後流偏向型 STOL 機の風胴試験 (II)	1967年6月	犬丸矩夫, 岡部祐二郎 北村清美, 川幡長勝 高橋 伸, 木村友昭
TM-108 インダクタンス型小型圧力変換器の製作とその応用	1967年7月	長洲秀夫, 柳沢三憲
TM-109 ロケットの飛しょう径路計算のためのプログラム	1967年7月	戸川隼人, 石黒登美子
TM-110 二次元スラットおよびスロットテッドフラップの実験的研究(I)	1967年8月	犬丸矩夫, 北村清美 川幡長勝
TM-111 リフトジェット VTOL 機の離陸径路に関する近似解	1967年8月	西村博史
TM-112 極超音速風胴用ペブル加熱器の特性	1967年8月	橋爪 宏, 橋本 登
TM-113 リフトジェットエンジン試験設備(II)	1967年9月	森田光男, 岩部柱相 関根静雄, 武田克己
TM-114 五段遷音速軸流圧縮機の空力設計	1967年9月	藤井昭一, 松木正勝 五味光男
TM-115 燃料蒸発管に関する研究(I)	1967年9月	大塚貞吉, 鈴木邦男 田丸卓, 乙幡安雄
TM-116 高負荷燃焼器の空気孔からの流れについて(I)	1967年9月	鈴木邦男, 相波哲朗
TM-117 ロケット用テレメータ機上装置の集積回路化	1967年9月	新田慶治, 松崎良継
TM-118 操縦桿レート信号によるアイアンバーダ制御の安定効果とパイロットのモデルについて	1967年9月	村上 力, 真柳光美
TM-119 ベーン型気流方向検出器の特性	1967年11月	田畠淨治, 松島弘一 成田健一, 塚本憲男
TM-120 円錐管レンズの設計とその応用	1967年11月	山中龍夫, 奥畠澄男
TM-121 大きなマトリクスの逆行列計算および連立一次方程式の計算のためのプログラミング技術	1967年11月	戸川隼人, 戸川保子
TM-122 NAL-7-P ロケットの強度および燃焼試験結果	1967年11月	竹中幸彦, 古田敏康 小川鉄一, 朝田洋雄 豊原恒彦, 五代富文 湯沢克宜, 伊藤克弥 西村久男
TM-123 "NAL-16・31" および "NAL-25・31" 二段ロケットの振動試験	1967年11月	中井暎一, 古閑昌次 田寺木勝, 高木俊之 安藤泰勝, 森田甫之 峯岸正勝, 菊地孝 太田幹雄
TM-124 吹出式超音速風胴の集合胴圧力制御について	1967年12月	外立政隆, 近藤洋史 原宜利
TM-125 航技研 1m×1m 吹出式超音速風胴におけるハーフモデル試験について	1968年2月	石原久蔵, 原直利 榎原盛三, 関根英夫
TM-127 2024-T3アルミニウム合金の3-bay 有孔補強平板の軸荷重による疲労特性	1968年4月	飯田宗四郎, 猿本光明 斎藤信一郎
TM-130 リフトエンジンの自然吸込みについて	1968年4月	近藤 博, 大城章一郎
TM-131 遷音速タービン翼列二次元試験(III)	1968年5月	近藤 博, 萩田光弘 山崎紀雄, 古川昇

# スピンドルロケットの運動を計算するプログラム\*

戸川隼人\*\*・石黒登美子\*\*・山本浩通\*\*\*

## 概要

スピンドルロケットの運動を計算するための、六自由度の運動方程式、計算法およびプログラムについての報告。ジェットダンピング、空力的ダンピング、推力のミスアラインメント、翼のミスアラインメント、固体ロケットの各種の燃焼方式における慣性モーメントの時間的变化などが考慮されている。計算例として、人工衛星打上用ロケットの最終段をスピンドルで安定化した場合の効果を検討した応用例等が示されている。

## 1. まえがき

スピンドルのかかっているロケットの運動方程式を数値的に解くプログラムを作成したので報告する。この種のプログラムはスピンドルによる安定効果を検討するために必要であり、たとえば人工衛星打上用ロケットの最終段をスピンドルで安定化させた場合にその軌道分散等を求めるために不可欠のものである。また、このプログラムでは六自由度の運動方程式を扱っているが、六自由度の運動に関する理解を深めることは、姿勢制御の研究の基礎としてもきわめて重要である。たとえば、制御系を含めた飛しょう運動のシミュレーションのプログラムを開発する場合にも、六自由度の運動が問題になるから、本プログラムを基礎にして、これに制御特性の式を加えて行くのが最も簡単かつ確実である。

スピンドルロケットの運動に関しては数多くの研究<sup>1)~6)</sup>があるが、電子計算機を用いて数値的に解かれようになつたのは比較的最近のことである。わが国では東京大学宇宙航空研究所で行なわれた計算<sup>7), 8)</sup>が、公表されたものとしては唯一のものであろう。米国では計算機を駆使して相当に研究されているものと思われるが、計算法やプログラムの詳細に関してはあまり発表されていない。比較的ていねいに書かれている報告としては、Brown<sup>17)</sup>, Fogarty and Howe<sup>18)</sup>, Hintze<sup>19)</sup>

<sup>19)</sup>などの論文があるが、いずれもブロック図の中に重要な計算式を書き込んであるだけで、細部は全く省略されており、たとえばロールのダンピングの係数を常数として扱っているのか、それとも何かの関数として計算しているのか、というような点に関しては記述がないのであまり参考にはならない。Hintze<sup>19)</sup>の論文には制御系のモデル化に関してはかなり詳しく論じられているが、空力的な特性については簡略化したモデルしか示されていない。

剛体の六自由度の運動方程式を作ること自体は、古典力学の応用だけなので特に困難な問題ではないが、空気力学的およびロケット工学的諸特性をどのようにモデル化するか、という問題に関しては種々の議論があり、たとえば超音速におけるマグナス効果とか、ピッキングとローリングの空力的な干渉とかスピンドルがある場合のジェット・ダンピング<sup>14), 15)</sup>など、今後まだ研究を要する課題が多く残されている。また数値計算に関しては、オイラ角の特異点の問題<sup>13)</sup>があり、プログラミングに関しては記憶容量不足の対策その他の問題がある。これらの諸点に関し、(未解決のものは致し方ないが)できる限りの検討を行ない、妥当性のある計算式を作るよう努力した。

作成したプログラム T C-2は、汎用で使い易いように配慮してあり、推力のミスアラインメント、翼のミスアラインメント、風速風向の高度変化などの外乱の影響を見ることができること、各種の燃焼方式に対応する慣性モーメントの時間的变化の近似式を用意してあること、計算結果が X-Y プロッタでグラフ表示でき

\* 昭和43年5月27日受付

\*\* 計測部

\*\*\* 宇宙開発推進本部

ることなどが特長である。入力データの形式は先に発表したTC-1に準ずる。東京大学宇宙航空研究所のプログラムは詳細が発表されていないので十分な比較はできないが、東大の計算式が地球の丸みと自転を入れて大域的な計算を主眼にしているのに対し、当所では地球の自転を入れた計算は別のプログラムにまかせ、特定の段だけの比較的短かい時間の問題だけを対象にして地球自転と丸みを無視して計算しているので、本プログラムは、このような限られた問題に関しては、計算が簡単化されているので速く、誤差の混入の可能性も少ないはずである。

本プログラムでは、一応、制御系の計算は入れてない。簡単な例については、制御のある場合の計算も試験的に行なってみたが、制御系のモデルで現実のものに近いものを作ること自体がかなり研究を要する問題なので、ここでは割愛した。誘導と制御系を含むシミュレーションは現在当研究所データ処理研究室を中心に研究が進められているので、その種の解析も近い将来にはルーチン化して処理されるようになると思う。

本研究を進めるに当り、ロケット部の五代富文技官および宇宙開発推進本部の斎藤勝利技官から貴重な助言をいただいた。運動方程式の構成その他については、汎用飛行シミュレータの報告<sup>10)</sup>に負うところが多い。

## 2. 記 号

$b$	安定翼の翼幅 (常数)	m
$C_D$	抗力係数 (マッハ数の関数)	
$C_{lp}$	横揺れ減衰モーメント係数 (常数)	
$C_{mq}$	縦揺れ減衰モーメント係数 (常数)	
$C_{nr}$	偏揺れ減衰モーメント係数 (常数)	
$C_{N\alpha}$	法線力係数 (マッハ数の関数)	
$C_{Y\beta}$	横力係数 (マッハ数の関数)	
$C_S$	音速 ( $Z_E$ の関数)	m/s
$D$	抗力 ((8)式)	ton
$g$	重力加速度 (逆2乗法則で計算)	m/s <sup>2</sup>
$g_0$	重力加速度 (海面上の値、常数)	m/s <sup>2</sup>
$I_{po}$	燃料だけの慣性モーメント (発射前, $y_B$ 軸回り, 常数)	ton·m·s <sup>2</sup>
$I_S$	機体だけの慣性モーメント ( $y_B$ 軸回り, 常数)	ton·m·s <sup>2</sup>
$I_{SX_B}$	機体だけの慣性モーメント ( $x_B$ 軸回り, 常数)	ton·m·s <sup>2</sup>
$I_{sp}$	比推力 (常数)	s
$I_{xB}$	全機の慣性モーメント ( $x_B$ 軸回り, (29)式)	ton·m·s <sup>2</sup>

$I_{yB}$	全機の慣性モーメント ( $y_B$ 軸回り, (22)式)	ton·m·s <sup>2</sup>
$I_{zB}$	同 上 ( $Z_B$ 軸回り, (22)式)	ton·m·s <sup>2</sup>
$l$	機体全長 (常数)	m
$lcg$	重心位置 ( $= (m_p lcg_p + m_s lcg_s) / m$ )	m
$lcg_p$	燃料だけの重心位置 (機体先端より)	m
$lcg_s$	機体だけの重心位置 (同 上, 常数)	m
$lc_p$	空力中心位置 (同 上, マッハ数の関係)	m
$l_{TM}$	推力ミスアラインメントの作用点位置 (常数)	m
$m$	質量 (全機の, $= m_p + m_s$ )	ton·s <sup>2</sup> /m
$m_p$	同上 (燃料のみ, $= m_{p0} - \int T/g_0 I_{sp} dt$ )	ton·s <sup>2</sup> /m
$m_{p0}$	同上 (同上, 燃焼前の値常数)	ton·s <sup>2</sup> /m
$m_s$	同上 (機体のみ, 常数)	ton·s <sup>2</sup> /m
$M_{FM}$	安定翼のミスアラインメントによる $x_B$ 軸回りのモーメント ((15)式)	ton·m
$M_p$	$x_B$ 軸回りのモーメント ((14)式)	ton·m
$M_q$	$y_B$ 軸回りのモーメント (同 上)	ton·m
$M_r$	$Z_B$ 軸回りのモーメント (同 上)	ton·m
$N$	法線力 ((8)式)	ton
$p$	$x_B$ 軸回りの角速度 ((5)式を積分して求める)	rad/s
$q$	$y_B$ 軸回りの角速度 (同 上)	rad/s
$r$	$z_B$ 軸回りの角速度 (同 上)	rad/s
$r_{f0}$	固体燃料の内半径 (常数)	m
$R_{f0}$	固体燃料の外半径 (常数)	m
$R_0$	地球の半径 (常数)	m
$S$	基準断面積 (常数)	m <sup>2</sup>
$t$	時間	s
$t_{B0}$	燃焼時間 (常数)	s
$T$	推力 ( $t$ の関数)	ton
$V_a$	対気速度 ((12)式)	
$V_{axB}, V_{ayB}, V_{azB}$	対気速度の機体座標成分 ((11)式)	m/s
$V_{xB}, V_{yb}, V_{zb}$	速度の機体座標成分 ((4)式を積分して求める)	m/s
$V_{xE}, V_{yE}, V_{zE}$	速度の地面座標成分 ((2)式)	m/s
$x_B, y_B, z_B$	機体座標	m
$x_E, y_E, z_E$	地面座標	m
$Y$	横力 ((8)式)	ton

$\alpha$	迎え角 ((13)式)	rad
$\beta$	横すべり角 ((13)式)	rad
$\delta$	翼のミスアラインメントの角度 (常数)	rad
$\epsilon$	推力ミスアラインメントの角度 (常数)	rad
$\rho$	大気密度 ( $z_E$ の関数)	ton·s <sup>2</sup> /m <sup>4</sup>
$\theta$	縦揺れ角 ((6)式および(26)式より求める)	rad
$\phi$	横揺れ角 (同上)	) rad
$\psi$	偏揺れ角 (同上)	) rad

### 3. 座 標 系

機体座標系  $x_B, y_B, z_B$  は、機体重心を原点とし、航空関係の慣習に従って、機軸前向きを  $x_B$  軸、右向きを  $y_B$  軸、下向きを  $z_B$  軸 ( $y_B$  および  $z_B$  の向きに関しては  $\theta = \phi = \psi = 0$  の場合) とする (図 1)。各軸まわりの角速度およびモーメントは、軸の正方向をみて時計回りを正とする (したがって、頭上げ、右下げ、右首振りが正である。図 1)。オイラ角  $\theta, \phi, \psi$  についても同様である。

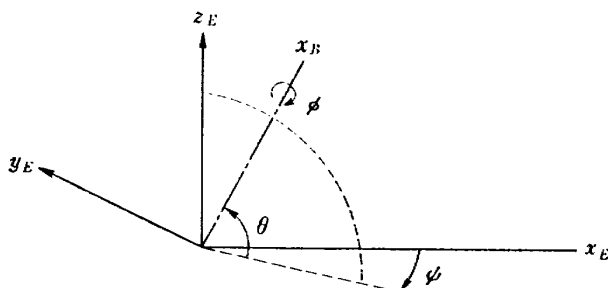
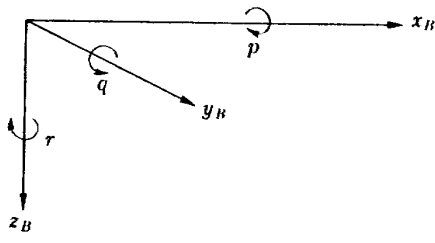


図 1 座標系、角度および角速度の正方向

地面座標系は、慣習とは逆になるが、便宜上、鉛直上向きを  $z_E$  軸の正方向と定めた。このようにすると  $z_E$  の値がそのまま高度を表わすので式やプログラムが少し簡単になり、過去に発表した計算式<sup>9)</sup>との対応もつけやすい。 $x_E$  軸は水平面内ならば任意にとって

よいが、発射方向に  $x_E$  軸をとれば  $x_E$  の値が水平飛しょう距離にはほぼ等しくなるので便利である。 $x_E$  軸のとり方としては、このほかに東向きを正とする、という方式があり、これは風向きの影響を検討する場合に適している。右手系を構成する関係上、 $y_E$  軸は  $x_E$  軸の正方向をみて左向きが正になる。

抗力  $D$ 、横力  $Y$ 、法線力  $N$  は、それぞれ、空気力の  $-x_E$  方向、 $y_E$  方向、 $-z_E$  方向の成分とする。厳密にいえば、 $D$  は風軸に関する量であるが、航空機の場合と違って、大きな迎え角を保ったまま飛しようすることは少ないので、他の文献などでも、抗力と軸力は特に明確な区別はしていないようである。空力係数の定義は、後述の(8)式、(13)式などから意味は明らかと思うが、念のため、通常の機体の場合の符号を掲げておくと、

$$\begin{aligned} C_{N\alpha} > 0, \quad C_{\gamma\beta} < 0, \quad C_D > 0 \\ C_{l\rho} < 0, \quad C_{mq} < 0, \quad C_{nr} < 0 \end{aligned}$$

迎え角および横すべり角の定義は

$$\alpha = \tan^{-1} \frac{V_{azB}}{V_{axB}}, \quad \beta = \sin^{-1} \frac{V_{ayB}}{V_a}$$

これらの符号は、 $\alpha$  は頭上げが正、 $\beta$  は左首振りが正 (いずれも風の来る方をみて) である。 $\alpha, \beta$  の定義に對気速度を用いたのは風の影響を入れるためである。風速 (地面に対する) を  $V_w$  とし、その  $x_E, y_E, z_E$  成分を  $V_{wxE}, V_{wyE}, V_{wxE}$  とする。 $x_E$  軸を発射前方にとつておけば、 $V_{wxE} > 0$  のとき追風、 $V_{wxE} < 0$  とき向風、 $V_{wyE} > 0$  のとき右からの横風、等々。一方、 $x_E$  軸を東向きにとつた場合は、西風のとき  $V_{wxE} > 0$ 、南風のとき  $V_{wyE} > 0$  となる。

### 4. 運動方程式

飛しょう径路は各時点における速度を積分して行くことにより求められる。微分方程式の形で書けば、

$$\begin{pmatrix} \dot{x}_E \\ \dot{y}_E \\ \dot{z}_E \end{pmatrix} = \begin{pmatrix} V_{xE} \\ V_{yE} \\ V_{zE} \end{pmatrix} \quad (1)$$

この右辺は、機体座標に関して計算した速度を、座標変換することにより得られる。

$$\begin{pmatrix} V_{xE} \\ V_{yE} \\ V_{zE} \end{pmatrix} = A_{BE} \begin{pmatrix} V_{xB} \\ V_{yB} \\ V_{zB} \end{pmatrix} \quad (2)$$

ただし  $A_{BE}$  は、機体座標系から地面座標系への変換マトリクスで、

$$A_{BE} = \begin{pmatrix} \cos\theta \cos\psi & \sin\phi \sin\theta \cos\psi - \cos\phi \sin\psi & \cos\phi \sin\theta \cos\psi + \sin\phi \sin\psi \\ \cos\theta \sin\psi & \sin\phi \sin\theta \sin\psi + \cos\phi \cos\psi & \cos\phi \sin\theta \sin\psi - \sin\phi \cos\psi \\ -\sin\theta & \sin\phi \cos\theta & \cos\phi \cos\theta \end{pmatrix} \quad (3)$$

この式の中の  $\phi, \theta, \psi$  はオイラ角で、(6)式より求められる。

(2)式右辺の  $V_{xB}, V_{yB}, V_{zB}$  は、機体座標系について表現した下記の運動方程式を積分することにより求められる。

$$\begin{cases} \dot{V}_{xB} = (T_{xB} - D)/m + (rV_{yB} - qV_{zB}) + G_{xB} \\ \dot{V}_{yB} = (T_{yB} + Y)/m + (p_z V_B - rV_{xB}) + G_{yB} \\ \dot{V}_{zB} = (T_{zB} - N)/m + (qV_{xB} - pV_{yB}) + G_{zB} \end{cases} \quad (4)$$

第1項は推力および空気力によるもの、第2項は機体座標系が回転するために現れるコリオリの力によるもの、第3項は重力による加速度である。各項の計算法については後に詳述する。回転運動に関しては、

$$\begin{cases} \dot{p} = \{(I_{yB} - I_{zB})qr + M_p\}/I_{xB} \\ \dot{q} = \{(I_{zB} - I_{xB})rp + M_q\}/I_{yB} \\ \dot{r} = \{(I_{xB} - I_{yB})pq + Mr\}/I_{zB} \end{cases} \quad (5)$$

分子の第1項はジャイロ効果によるもの、第2項はその他のモーメントで、 $M_p, M_q, M_r$  の内訳は(14)式のとおりである。オイラ角は、 $p, q, r$  より、

$$\begin{cases} \dot{\phi} = p + \tan\theta(q\sin\phi + r\cos\phi) \\ \dot{\theta} = q\cos\phi - r\sin\phi \\ \dot{\psi} = (q\sin\phi + r\cos\phi)\sec\theta \end{cases} \quad (6)$$

を積分して求める。ただし  $\theta = 90^\circ$  の近傍においては  $\tan\theta$  の値が異常に大きくなつて積分ができなくなるので、後に述べる方法により処理する。

つぎに各項の計算法を簡単に説明すると、(4)式の推力の項は、推力軸が機軸と完全に一致していれば、

$$T_{xB} = T, \quad T_{yB} = T_{zB} = 0 \quad (7)$$

であるが、ミスアラインメントなどがあれば、その補正が必要になる。推力軸を  $x_B-y_B$  平面および  $x_B-z_B$  平面に射影し、それと  $x_B$  軸とのなす角を、それぞれ  $\epsilon_r$  および  $\epsilon_q$  とすれば、厳密に書くと、

$$\begin{cases} T_{xB} = T \cos \epsilon_q \cos \epsilon_r \\ T_{zB} = T \sin \epsilon_r \\ T_{yB} = T \sin \epsilon_q \end{cases} \quad (7')$$

$\epsilon$  は微小として近似式で置きかえれば

$$\begin{cases} T_{xB} = T \\ T_{zB} = T \epsilon_r \\ T_{yB} = T \epsilon_q \end{cases} \quad (7'')$$

となる。通常は、ミスアラインメントは非常に小さいから(7)式で十分であると考えられるが、推力方向制御の計算を行なう場合などに応用するときには、せめて(7'')式程度の考慮は必要となるであろう。(7)と(7'')とでは計算時間は大差ないし、 $\epsilon_q, \epsilon_r$  が一定とすれば(7')としても時間の損にはならないから、本プログラムでは一応(7')式で計算している。

空気力  $D, Y, N$  は、次式で計算する。

$$\begin{cases} D = (1/2) S \rho V_a^2 C_D \\ Y = (1/2) S \rho V_a^2 C_{r\beta} \beta \\ N = (1/2) S \rho V_a^2 C_{N\alpha} \alpha \end{cases} \quad (8)$$

ロケットは航空機と異なり、大きな迎え角を保ちながら大きな揚力を発生して飛ぶということがないので、誘導抵抗の項、あるいは  $\alpha^2, \beta^2$  の項などは無視しても問題ないと考える。上式中の対気速度  $V_a$  および迎え角、横すべり角は、つぎのようにして求める。3ページで定義した対地風速ベクトル ( $V_{wxE}, V_{wyE}, V_{wzE}$ ) を機体座標系に変換する。

$$\begin{pmatrix} V_{wxB} \\ V_{wyB} \\ V_{wzB} \end{pmatrix} = A_{EB} \begin{pmatrix} V_{wxE} \\ V_{wyE} \\ V_{wzE} \end{pmatrix} \quad (9)$$

ただし  $A_{EB}$  は、地面座標系から機体座標系への変換マトリクスで、(3)式の  $A_{BE}$  を転置したものに等しい。すなわち

$$A_{EB} = A_{BE}^{-1} = A_{BE}^T \quad (10)$$

対気速度はこれから

$$\begin{pmatrix} V_{axB} \\ V_{ayB} \\ V_{azB} \end{pmatrix} = \begin{pmatrix} V_{xB} - V_{wxB} \\ V_{yB} - V_{wyB} \\ V_{zB} - V_{wzB} \end{pmatrix} \quad (11)$$

および

$$V_a = \sqrt{V_{axB}^2 + V_{ayB}^2 + V_{azB}^2} \quad (12)$$

により求められ、

$$\alpha = \tan^{-1} \frac{V_{azB}}{V_{axB}}, \quad \beta = \sin^{-1} \frac{V_{ayB}}{V_a} \quad (13)$$

で迎え角と横すべり角が得られる。

(5)式の  $M_p, M_q, M_r$  は、次式で計算する。こま

かく考えると、このほかにも多くの要因があるが、式だけ立ててもデータが入手も推定もできないならば結局は計算できることになるので、一応、最重要と考えられる項だけ集めてみたものである。

$$M_p = M_{FM} + \frac{1}{2} \rho S V_a^2 \frac{d^2}{2V_a} C_{lp} \cdot p + r_{pc} F_{pc} + M_{rp} \\ + M_{Jp}$$

$$M_q = - (l_{cp} - l_{cg}) N + \frac{1}{2} \rho S V_a^2 \frac{l^2}{2V_a} C_{mq} q \\ + (l_{cq} - l_{cg}) F_{qc} + T (l_r - l_{cg}) \sin \varepsilon_q + M_{Jq}$$

$$M_r = - (l_{cp} - l_{cg}) r + \frac{1}{2} \rho S V_a^2 \frac{l^2}{2V_a} C_{nr} r \\ + (l_{rc} - l_{cg}) F_{rc} + T (l_r - l_{cg}) \sin \varepsilon_r + M_{Jr} \\ (14)$$

これらの第1項は空気力による加速側のモーメント、第2項は空気力による減衰モーメント、第4項は推力のミスアライメントなどによるモーメント、第5項はジェット・ダンピング・モーメントである。第3項は、姿勢制御用の補助ロケットエンジンを作動させた場合の解析用に付けておいた項で、 $F_{pc}$ 、 $F_{qc}$ 、 $F_{rc}$ が制御力、 $r_{pc}$ 、 $l_{qc}$ 、 $l_{rc}$ がその作用点位置 ( $l_{pc}$  は機軸からの距離、 $l_{qc}$ 、 $l_{rc}$  は先端からの距離) であるが、制御のない場合には外乱 (たとえば前段切離しの衝撃) をこの形で入れることができる(図2)。

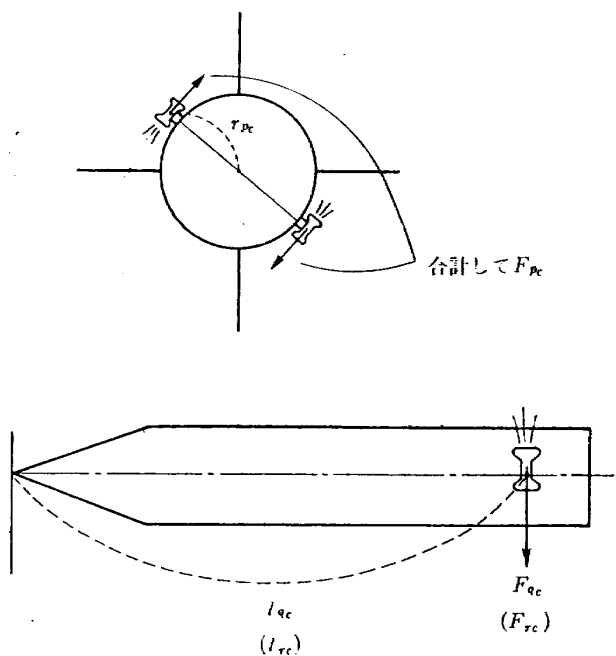


図 2 制御モーメント

$M_{FM}$  としては一応、尾翼のミスアライメントによるものだけを考えれば十分であろう。いま仮に尾翼は4枚とし、そのミスアライメントの角度(図3)を  $\delta_1$ 、 $\delta_2$ 、 $\delta_3$ 、 $\delta_4$  とし、翼の法線力係数(1枚当たり)を  $C_{Nt}$ 、空力中心位置(機軸からの距離、片翼だけについて)を  $r_{FCP}$  とすれば、 $M_{FM}$  は4枚の翼の生ずるモーメントの和として次式より求められる。

$$M_{FM} = \sum_{i=1}^4 \left( \frac{1}{2} \rho V^2 S C_{Nt} \delta_i r_{FCP} \right) \quad (15)$$

実際の計算の時には、総和を毎回とるのは無駄であるから、

$$\delta = \sum_{i=1}^4 \delta_i$$

と置いて

$$M_{FM} = \frac{1}{2} \rho V^2 S C_{Nt} \delta r_{FCP} \quad (15')$$

により  $M_{FM}$  を計算する。

ジェット・ダンピングに関しては種々の議論があるがこの方面の研究の古典とされている Ross<sup>20)</sup> の理論によれば基礎となる式は

$$M_{Jq} = - (\dot{m} k^2 + \dot{\bar{m}} k^2 - \dot{m} r_e^2) q \quad (16)$$

ただし  $k$  は回転半径( $\dot{m} k^2 = I$ )、 $r_e$  は重心からノズル出口までの距離である。 $\dot{k}^2$  は正確に書けば  $dk^2/dt$  である。この式はこのままでは  $k^2$  の計算に不便なので Davis<sup>21)</sup> らは燃料重心位置が急激に変化しないという仮定を入れて次記のように変形した。

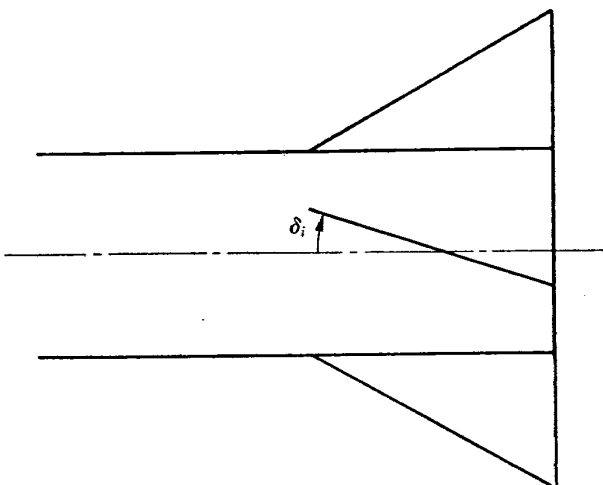


図 3 尾翼のミスアライメント

$$M_{Jq} = -[\dot{I}_p + \dot{m}\{(l_{CG} - l_{CGP})^2 - r_e^2\}] q \quad (16')$$

本資料のプログラムは、この式で  $M_{Jq}$  を計算している。ただし  $r_e$  のかわりに  $(l - l_{CGP})$  を用いている。 $\dot{I}_p$  は正確なデータが入手できれば、それを使用したいところであるが、それが不可能な場合、内面燃焼で燃料の充てんおよび燃焼速度が軸方向に関して一様であると仮定すれば

$$\dot{I}_p = \frac{\dot{m}}{m_{p_0}} I_{p_0} - \left(\frac{m_s}{m}\right)^2 (l_{CGP} - l_{CGS})^2 \dot{m} \quad (17)$$

また端面燃焼の場合には

$$\begin{aligned} \dot{I}_p &= \frac{\dot{m}}{m_{p_0}} I_{p_0} - \left(\frac{m_s}{m}\right)^2 (l_{CGP} - l_{CGS})^2 \dot{m} \\ &\quad + \frac{2m_s}{t_{B_0}} \left(1 - \frac{m_s}{m}\right) (l_{CGP} - l_{CGS}) \end{aligned} \quad (17')$$

等の式により一応の推定ができる。

(16), (16')式はピッキングに関するダンピングであるが、ヨーイングに関しては同様に

$$M_{Jr} = -(\dot{m}k^2 + \overline{mk^2} - mr_e^2) r \quad (18)$$

または

$$M_{Jr} = -[\dot{I}_p + \dot{m}\{(l_{CG} - l_{CGP})^2 - r_e^2\}] r \quad (18')$$

また、ロールに関して同じ考え方で減衰モーメントを求めるとき、

$$M_{Jp} = -(\dot{I}'_p - \dot{m}r_e^2) p \quad (19)$$

となる。ただし  $\dot{I}'_p$  は燃料の機軸回りの慣性モーメント、 $r_e^2$  は

$$r_e^2 = (\text{ノズル半径})^2 / 2$$

これに相当する式は、たとえば文献<sup>14)</sup>に見られる。

以上に述べた古典的な理論においては、重心の移動による慣性モーメントの変化と、外部に出て行く燃焼気体が持ち去る角運動量だけが考慮されているが、さらにさかのぼってその減衰の成因を考えてみると、エンジンの中をノズルに向かって流れる気体の慣性と、ある角速度で回転する機体とそれに付属したエンジン内壁、そこに生ずる迎え角と揚力、というようなものが考慮されなければならない。しかしそれは非常に困難な問題であって、いろいろな研究が発表されているが計算は複雑で（偏微分方程式を解くことになる）スピンの解析に插入するには適当でない。非常に簡単化した理論としては<sup>15)</sup>、固体ロケットの場合

$$M_{Jq} = -\dot{m} \left\{ \frac{1}{3} (l_n^2 + l_n l_0 + l_0^2) - r_e^2 \right\} q \quad (20)$$

（ただし  $l_n$  は燃料の後端、 $l_0$  は前端の位置、いずれも重心からの距離）また液体ロケットの場合

$$M_{Jq} = -\dot{m} (l_e^2 - l_0^2) q \quad (21)$$

というような計算式が提案されているが、この程度の理論では(16)式より格段に精密になったということにもならないので一応(16)式等を用いておいた。数値的には、あまり大きな差は出ないようである。

次に(5)式の計算に必要な慣性モーメント  $I_{xB}$ ,  $I_{yB}$ ,  $I_{zB}$  について述べる。これらは時間的に質量が減少し重心も移動するので各時点での計算しなおすことが必要である。まず  $I_{yB}$  と  $I_{zB}$  に関しては、(17)または(17')を積分すれば  $I_p$  が得られ、これと  $I_s$  を組み合わせれば  $I_{yB}$  ( $= I_{zB}$ ) が得られる。あるいは直接に

$$I_{yB} = \frac{m_p m_s}{m} (l_{CGP} - l_{CGS})^2 + \frac{I_{p_0} \cdot m_p}{m_{p_0}} + I_s \quad (22)$$

（燃焼が前後方向に一様な場合）等の式で計算することもできる。 $I_{xB}$  は推薦の形状により、個々のロケットに適合した式で計算しなければならないが、初期設計の段階でまだ形状も未決定の場合には文献<sup>11)</sup>などを参考して適切に推定して計算を進めるほかない。最も簡単な例としては端面燃焼の場合

$$I_{xB} = I_{sx} + m_p \cdot (\text{燃料の半径})^2 / 2 \quad (23)$$

内面燃焼で内部切口が円形の場合

$$I_{xB} = I_{sx} + m_p \left\{ \frac{R_{fo}^2 + r_{fo}^2}{2} + \frac{R_{fo}^2 - r_{fo}^2}{2} \left(1 - \frac{m_p}{m_{p_0}}\right) \right\} \quad (23')$$

運動方程式は以上のとおりであるが、プログラムの上では空気のほとんどない所では ( $z_E > 90\text{km}$ ) 空力関係の計算はスキップするようになっている。

## 5. オイラ角の特異点について

オイラ角を計算する(6)式は  $\theta = 90^\circ$ において  $\dot{\phi}$  と  $\dot{\psi}$  が無限大となり計算の続行が不能になる。 $\theta = 90^\circ$  というケースはロケットの垂直発射などの場合にきわめて重要であるので、この対策を考えておかなければならない。

その一つの解決策は座標系を回転することで、鉛直上方に  $x_E$  軸をとればよい。この場合は重力の向きそ

の他二三の変更をするだけで前節の方程式はほとんどそのまま成立する。しかし時間が経過して機軸が水平まで傾いてきた時に再び特異点の問題が出てくることになる。

もう一つの解決策としては、C. Grubin の研究がある。 $p$ ,  $q$ ,  $r$  と  $\phi$ ,  $\theta$ ,  $\psi$  との関係

$$\begin{cases} p = \dot{\phi} - \psi \sin \theta \\ q = \dot{\psi} \cos \theta \sin \phi + \dot{\theta} \cos \phi \\ r = \dot{\psi} \cos \theta \cos \phi - \dot{\theta} \sin \phi \end{cases} \quad (24)$$

を  $\psi$ ,  $\dot{\theta}$ ,  $\dot{\phi}$  について解くと(6)式が得られるが、これは書き換えると

$$\begin{cases} \dot{\phi} = p + \sin \theta \cdot \frac{q \sin \phi + r \cos \phi}{\cos \theta} \end{cases} \quad (25-1)$$

$$\begin{cases} \dot{\theta} = q \cos \phi - r \sin \phi \end{cases} \quad (25-2)$$

$$\begin{cases} \dot{\psi} = \frac{q \sin \theta + r \cos \phi}{\cos \theta} \end{cases} \quad (25-3)$$

となる。 $\theta \rightarrow 90^\circ$  の時に問題になる(25-1)式の右辺第2項と(25-3)式の右辺の、 $\theta \rightarrow 90^\circ$  の極限値を計算すると

$$\lim_{\theta \rightarrow 90^\circ} \frac{q \sin \theta + r \cos \phi}{\cos \theta} = - \frac{\dot{q} \sin \phi + \dot{r} \cos \phi + \dot{\theta} \dot{\phi}}{\dot{\theta}}$$

これに(25-2)式を入れ、(25-1), (25-3)を用いて解くと

$$\begin{cases} \dot{\phi} = \frac{p}{2} - \frac{\dot{q} \sin \phi + \dot{r} \cos \phi}{2\dot{\theta}} \\ \dot{\theta} = q \cos \phi - r \sin \phi \\ \dot{\psi} = - \frac{p}{2} - \frac{\dot{q} \sin \phi + \dot{r} \cos \phi}{2\dot{\theta}} \end{cases} \quad (26)$$

となる。本プログラムでは  $\theta = 90^\circ$  の近傍において、この式に切り換えて計算を行なうことにした。

## 6. 数 値 積 分 法

積分公式は TC-1 の場合<sup>9)</sup>と同じ Runge-Kutta-Gill 法を用いている。積分間隔  $h$  は次のように自動的に設定される。

(1) スピニがかかっていて、コースティングをしている間は1回転に5ステップ、すなわち

$$h = 2\pi / 5p$$

(2) スピニがかかっていて、燃焼中の場合は

$$h = 2\pi / 10p$$

ただし推力曲線の読み取り間隔  $h_{TH}$  の方が小さい場合は

$$h = h_{TH}$$

(3) スピニのない場合は

$$h = \begin{cases} \min(0.005, h_{TH}) & \text{燃焼中} \\ 0.01 & \text{燃焼後} \end{cases}$$

この方程式で決定される  $h$  はかなり粗いキザミである。もっとこまかくすれば精度的に好ましいが計算時間が長くなる。逆にこれ以上粗くすると発散して計算不能になる危険がある。これまでの経験によれば、上記の程度の間隔が適当なようである。

## 7. 使 用 法

スピニを含む飛しょう運動計算のプログラムを以上の解析に従って開発したが、それを使用する際次の準備が必要である。なお、メインプログラムその他は本計算センタに用意されている。

- (i) ロケットの推力の時間的変化を表わすサブプログラム THISP1 を作成する。
- (ii) 抗力係数とマッハ数との関係を表わすサブプログラム CD1 を作成する。
- (iii) 揚力係数とマッハ数との関係を表わすサブプログラム CNA1 を作成する。
- (iv) 翼部分の揚力係数とマッハ数との関係を表わすサブプログラム DCNAA1 を作成する。
- (v) 空力中心位置とマッハ数との関係を表わすサブプログラム LCPN1 を作成する。
- (vi) ロケット燃焼型式が、端面燃焼、管状全面燃焼、管状内面燃焼以外の場合には、機体ロール軸まわりの質量慣性モーメント  $I_{zB}$  の時間的変化を表わすサブプログラム IX1 を作成する。
- (vii) 機体諸元(機体重量、全長など)、発射条件(計算開始時刻、計算打切り時間、XY プロットで描かせるべきグラムの指定など)を表わすデータカードを作成する。
- (viii) 風の影響を計算する場合には、風のデータとして、高度に対する風速、風向の関係を表わすデータカードを作成する。

上述の諸手続きのうち、(i)・(ii)・(iii)・(iv)・(v)は、NAL TM-109<sup>9)</sup>と同じ手法であるが、このプログラムは単段式ロケット(多段式ロケットの場合には、1段ずつ区分けして計算する)を扱うようになっている点が異なる。以下、これらを具体的に順を追って説明する。

C式番号	つづき番号	20	30	40	50
1	567	10			
\$THISPI	,, HARP,				
	SUBROUTINE THISPI,				
	COMMON/THR/TH(20), HTH, TABAI/AE, AE, P0, ISPP, ISP,				
	REAL, ISP,				

図 4 THISPI の書き出しの定形

C式番号	つづき番号	20	30	40
1	567	10	20	30
\$CNA1	,, HARP,			
	SUBROUTINE CNA1,			
	COMMON/CNA1/CNAM(20), CNAL(20)			

図 7 CNA1 の書き出しの定形

C式番号	つづき番号	20	30
1	567	10	20
	TH(1)=1.54, 0,		
	TH(2)=1.55, 0,		
	THBAI=1.7, 0*2.35, 0/(1.54, 0*2.6, 0),		
	HTH=0, 5,		
	ISP=2.1, 0,		
	AE=2, 05,		
	P0=101, 325,		
	RETURN,		
	END,		

図 5 THISPI の記入例

C式番号	つづき番号	20	30	40
1	567	10	20	40
\$CD1	,, HARP,			
	SUBROUTINE CD1,			
	COMMON/CD1/CDMACH(2,20), CDLINE(2,20)			

図 6 CD1 の書き出しの定形

### [THISPI]

このサブプログラムは、 NAL TM-109<sup>9)</sup>に準じて図 4 の通りの書き出しの定形を有し、図 5 のごときのデータを添えればよい。

(注意 1)  $TH(n)$  の  $n$  は200を越えてはならない。

言いかえれば、推力時間曲線の読み取り間隔は、読み取る点が 200 点以下になるように取らなければならない。

(注意 2) 単位は、推力は ton, 読み取り間隔 HTH および比推力 ISP は秒, ノズルの出口面積 AE は  $m^2$ , 推力試験時の気圧 P0 は 0.1 mb である。

### [CD1]

このサブプログラムも、 NAL TM-109 に準じ、抗

力係数とマッハ数との関係を示すもので、図 6 のとおりの書き出しの定形をもっている。燃焼中およびコースティング中の係数の区別は次のようにする。

CDLINE ( $i, n$ ) = 燃焼中の抗力係数の値

CDLINE ( $2, n$ ) = コースティング中の抗力係数値

CDMACH ( $1, n$ ) = 燃焼中のマッハ数

CDMACH ( $2, n$ ) = コースティング中のマッハ数

(注意 1) 計算途中で実際に現われるマッハ数が、予測できない場合には、最後のマッハ数值（抗力係数曲線の折線近似で最大のマッハ数の値）を十分に大きな値にしておく必要がある。これを怠るとメモリエラーが出て計算は正しく行なわれず計算機は演算を中止してしまうことがある。この処置は、他のサブプログラム、 CNA1, DCNA1, LCPN1についても同様である。

(注意 2) 抗力係数の折線近似の読み取り点の個数は最大 20 個である。すなわち、上記の CDLINE ( $i, n$ ), CDMACH ( $i, n$ ) ただし,  $i=1, 2$ ) の  $n$  は20以下であること。

### [CNA1]

このサブプログラムは、抗力係数曲線と同様、揚力係数とマッハ数との関係を表わす図11のグラフを折線近似で表わすプログラムであり、図 7 のとおりの書き出しの定形を有している。

CNAM ( $n$ ) = マッハ数

CNAL ( $n$ ) = 揚力係数

であり、  $n$  は20以下に押さえ、サブプログラムの最後は RETURN および END を書く。

### [DCNA1]

翼部分の揚力係数とマッハ数との関係を表わす曲線を、図12のごとく折線近似で表わすサブプログラムであり、図 8 のとおりの書き出しの定形を有している。折線頂点の座標は、

DCNAM ( $n$ ) = マッハ数

DCNAL ( $n$ ) = 翼の揚力係数

C式番号	つづき番号
1	567 10 20 30 40
\$DCNAA1	, HARP,
	SUBROUTINE DCNAA1,
	COMMON/DCNAB/DCNAM(20),DCNAL(20),
	.....

図 8 DCNAA1 の書き出しの定形

C式番号	つづき番号
1	567 10 20 30 40
\$LCPN1	, HARP,
	SUBROUTINE LCPN1,
	COMMON/LCPNN/LCPNM(20),LCPNL(20),
	REAL LCPNM,LCPNL,
	.....

図 9 LCPN1 の書き出しの定形

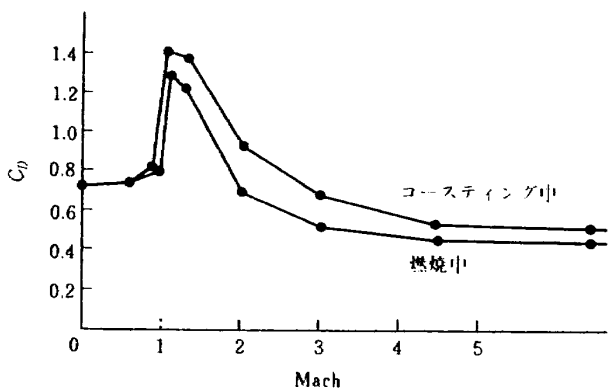


図 10 抗力係数

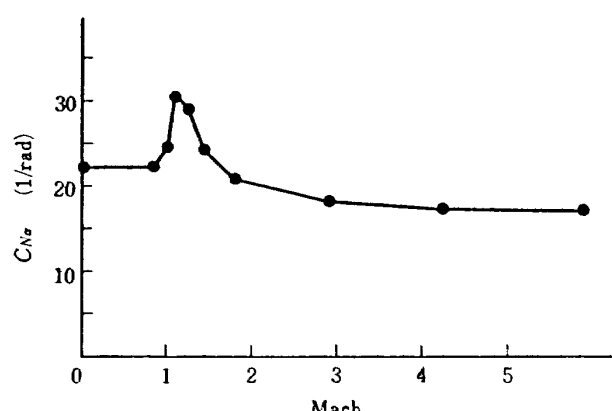


図 11 揚力係数

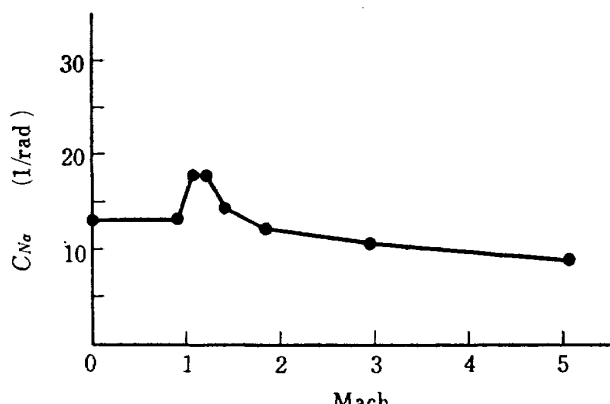


図 12 翼のみの揚力係数

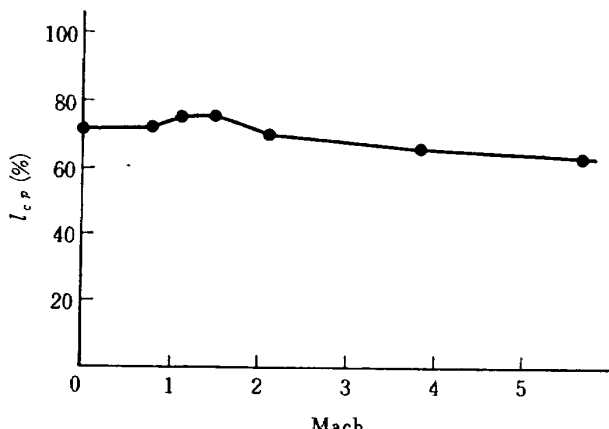


図 13 空力中心位置

C式番号	つづき番号
1	567 10 20 30 40
\$IX1	, HARP,
	SUBROUTINE IX1,
	COMMON/IXX/IX(20),HIX,
	REAL IX,
	IX(1)=
	IX(2)=
	.....
	HIX=
	RETURN,
	END.

図 14 IX1 の形式 (その 1)

C式番号	つづき番号
1	567 10 20 30
\$IX1	, HARP,
	SUBROUTINE IX1,
	COMMON/IXX/IX(20),HIX,
	REAL IX,
	RETURN,
	END.

図 15 IX1 の形式 (その 2)

の形式で表わし、読み取り頂点個数  $n$  は20以下に押さえる。このサブプログラムの最後にも、RETURN および END をつける。

#### [LCPN1]

機体の空力中心の位置とマッハ数との関係を表わすグラフを図13のごとく折線近似で表わすサブプログラムであり、図9のとおりの書き出しの定形を有している。折線頂点の座標は、

$$\text{LCPNM}(n) = \text{マッハ数}$$

$$\text{LCPNL}(n) = \text{空力中心位置 (機体先端から} \\ \text{の距離を機体全長に対する\%} \\ \text{で表わした値)}$$

の形式で表わし、読み取り頂点の個数  $n$  は20以下に押さえる。このサブプログラムの最後にも、RETURN および END をつける。

#### [IX1]

機軸まわりの慣性モーメントの時間的変化を表わすサブプログラムで、図14のとおりの定まった形式になる。ただし、燃焼形式が端面燃焼、管状全面燃焼、管状内面燃焼のいずれかの場合には、図15のとおりにすればよい。

$$\text{IX}(n) = \text{機軸まわりの慣性モーメント}$$

$$\text{HIX} = \text{慣性モーメント時間曲線の読み取} \\ \text{り間隔時間。}$$

ただし、IX(n)の  $n$  は20以下に押さえる。すなわち、慣性モーメント時間曲線の読み取り間隔は燃料の燃焼時間の1/20以上に取る必要がある。なお、燃焼終了後は慣性モーメントは一定値（機体構造部のみに依るもの）になるように設定される。単位は、HIX は sec IX は ton·m·sec<sup>2</sup> である。

#### [データカード]

機体諸元、発射条件、計算条件を表わすデータカードは以下のようない形状で作成する。

先頭カードは、タイトル、データカードの枚数、描かせるグラフの数および風のデータ数を次のとおりにパンチする。

タイトル 52  $m$   $n$

タイトルは、8字（英字、数字、記号〔プランクを含む〕）で使用者が適当に決めて書く。次の「52」は機体諸元その他で本プログラムで計算するに当たり必要な入力データ数である。 $m$  は X Y プロットで描かせるグラフの数の指定で、2桁の数字（ $m < 10$  の場合には頭に0を付ける）にして第21字目と第22字目に書く。 $n$  は風のデータ数（風のデータは高度に対する風向、風速の値を1組として用いるから、風のデータ数として

は、その組数）を2桁の数字（ $n < 10$  の場合には頭に0を付けて）で、第31字目と第32字目に書く。

機体諸元、発射条件および計算条件（計算初期値、計算打切り、計算結果の処置など）を指定する52枚のデータカードはすべて、指定諸元を表わす項目名を第1字目から書き出し、それに対応するデータ値または指定値は第11字目から書き出し、必ず小数点を付けて20桁以内（±の符号も含め）に書く。

機体諸元および計算指定諸元を表わす項目名およびその内容は次のとおりである。（カッコ内は単位）

WEIGHT	発射時全備重量	(ton)
WB <sub>O</sub>	燃焼後の重量	(ton)
WPO	発射時燃料重量	(ton)
SBODY	機体基準断面積	(m <sup>2</sup> )
SWING	翼基準断面積	(m <sup>2</sup> )
L	機体長さ	(m)
SPAN	翼スパン	(m)
LMP	機体の先端からピッチ面推力作用点ま での距離	(m)
LMY	機体の先端からヨー面内推力作用点ま での距離	(m)
RIRAGE	燃料の外半径	(m)
RISMOL	燃料の内半径	(m)
DCP	機軸から翼の圧力中心までの距離	(m)
LCGS	燃焼終了後の機体重心位置（機体先端 からの距離）	(m)
LCGP	発射時の燃料のみの重心位置（機体先 端からの距離）	(m)
IS	燃焼終了後の $x_B$ 軸まわりの慣性モー メント	(ton·m·sec <sup>2</sup> )
IPO	発射時の $x_B$ 軸まわりの、燃料の慣性 モーメント	(ton·m·sec <sup>2</sup> )
ISXO	燃焼終了後の機軸まわりの慣性モー メント	(ton·m·s <sup>2</sup> )
CLP	ロールダンピング係数	(1/rad)
CMQ	ピッチダンピング係数	(1/rad)
CNR	ヨーダンピング係数	(1/rad)
LRC	ロール外力作用点位置（機軸からの距 離）	(m)
LPC	ピッチ外力作用点位置（機体先端から の距離）	(m)
LYC	ヨー外力作用点位置（機体先端からの 距離）	(m)
FMA	翼のミスアライメント角度	(rad)

TMAP	推力のミスマライメント角度のピッチ方向成分	(rad)
TMAY	推力のミスマライメント角度のヨー方向成分	(rad)
X	発射時 (計算開始時) の $x$ 座標 (m)	
Y	発射時 (計算開始時) の $y$ 座標 (m)	
Z	発射時 (計算開始時) の高度 (m)	
U	初速度の機軸方向成分 (m/sec)	
V	初速度の機軸直角方向 ( $y_B$ 方向) 成分 (m/sec)	
W	初速度の機軸直角方向 ( $z_B$ 方向) 成分 (m/sec)	
P	発射時 (計算開始時) のスピンドル回転数 (r. p. s)	
Q	発射時 (計算開始時) のピッチ角速度 (deg/sec)	
R	発射時 (計算開始時) のヨー角速度 (deg/sec)	
ROLL	発射時 (計算開始時) の横揺れ角 (deg)	
PITCH	発射時 (計算開始時) の上下角 (deg)	
YAW	発射時 (計算開始時) の偏揺れ角 (deg)	
FUKŌ	発射地点の風向 (真北を $0^\circ$ として時計まわりを正) (deg)	
FUSOKU	発射地点での風速 (m/sec)	
VWZ	上昇風 (下降風の時は負値) (m/sec)	
LAUNCHER	ランチャー有効長さ (m)	
T	計算開始時刻 (sec)	
IGNITION	燃料点火時刻 (計算開始時刻からの時間) (sec)	
BOTIME	燃焼時間 (点火から燃焼終了までの時間) (sec)	
TEND	計算打切り時間 (計算開始時刻からの時間) (sec)	
NENSHŌ	燃料の燃焼形式	
PRINTTIME	計算結果のプリントの時間間隔 (sec)	
SITEI	計算結果の処置の指定	

燃焼形式の指定の NENSHŌ は次のように使用する。

- NENSHŌ 1.0 は端面燃焼の場合
- NENSHŌ 2.0 は管状全面燃焼の場合
- NENSHŌ 3.0 は管状内面燃焼の場合
- NENSHŌ 4.0 はその他の固体推薦燃焼の場合
- NENSHŌ 5.0 は液体推薦の場合

#### [グラフの指定]

X-Yプロッタで描くことのできるグラフは 次の18種類である。

指定番号	グラフのタイトル
01	TIME-X
02	TIME-Y
03	TIME-Z
04	TIME-DV
05	TIME-V
06	TIME-MACH
07	TIME-DOATU
08	TIME-ALPHA
09	TIME-PITCH
10	Z-CV
11	Z-V
12	Z-MACH
13	Z-DOATU
14	X-Y
15	X-Z
16	Y-Z
17	ALPH-BETA
18	PITCH-YAW

グラフの指定は次のとおりにする。

- (i) データカードの中の SITEI を 2.0 又は 3.0 にする。 (この SITEI データカードの使用法は、以下の [計算結果] の項を参照のこと。)
- (ii) データカードの先頭につける先頭カードの  $m$  を描かせるグラフの数に一致させる。 (ただし、  $m < 10$  の時は頭に必ず 0 をつける。)
- (iii) 必要なグラフの種類は、指定番号により区別し、図16のような形式で書けばよい。すなわち、各グラフの指定番号を、データシートを用い、第1字目、第11字目、第21字目と10字おきに2桁の数字 (ただし、小数点はつけない) で書けばよい。
- (iv) グラフが全然必要でない時は (すなわち、 SITEI が 1.0 の時)、  $m$  は 0 0 とし (iii) の手続きは必要がない。

#### [風のデータ]

1	10	20	30	40
05	08	12	15	17

図 16 プロッターで描くグラフの種類の指定形式

1	10	20	30	40
0.0	500.0	1000.0	1500.0	2000.0
4000.0	4500.0	5000.0	5500.0	6000.0
10000.0	11000.0	12000.0	13000.0	14000.

図 17 高層風の観測高度のデータ記入形式

風の影響を考慮した計算を行う時は、各高度に対する風向、風速のデータを必要とする。この風のデータの作成は、つぎのように行う。

- (i) まず、風向、風速を観測した高度の値を低い順から図17のようにデータシートに記入する。
- (ii) つぎに、各高度に対応した風向のデータを図18のように記入する。
- (iii) 同様に、各高度に対応した風速のデータを図19のように記入する。

ただし、各データ値は必ず小数点を付け、10字以内の数字で（小数点も1字とみなす）記入する。さらに、データカードの先頭のカードの *n* は、高度データの数（風速または風向のデータ数でも同じ）に一致させる必要がある。風を考慮しない場合には、 *n* を 0 にして、上記 (i), (ii), (iii) の手続きは全く必要ない。

（注意） 風のデータ数 *n* は 40 以下に限る。

最高度以上では、風速は 0 (m/s) になる。

データカード作成上の注意点としては、

- (i) 左から10第字目までが項目名を書くところで、ここには定められた項目名を正確に、左側につめて書かなければいけない。ただし、項目名は最初の4字だけがデータカード識別に使用され、残りの字は利用者が見やすいように書くだけであるから、データカードの枚数が多くて書く手間がめんどうなときは第5字目以下を省略してもさしつかえない。
- (ii) 第11字目から第30字目まではデータの値および指定すべき値が小数点を付けた数字であるが、この値は必ずしも左側につめて書く必要はない。ただし、必ず第30字目までは書き終っていなければならない。
- (iii) 小数点、±の符号は各々1字としてマスの中に書く。

#### [データカードの配列]

1 ケースだけの計算を行なう場合の標準的な配列は次のとおりである。

1	10	20	30	40
350.0	348.0	285.0	271.0	278.0
299.0	279.0	250.0	235.0	262.0
271.0	279.0	281.0	273.0	265.0

図 18 高層風の風向のデータ記入形式

1	10	20	30	40
5.5	11.0	17.0	21.0	25.0
26.0	29.0	35.0	38.0	39.0
60.0	65.0	58.0	57.0	52.0

図 19 高層風の風速のデータ記入形式

タイトル 52 *m n*

機体諸元の指定  
発射条件の指定  
計算条件の指定

合わせて52枚

グラフの種類の指定

風のデータ

\*\*\*END

ただし、機体諸元、発射条件および計算条件の指定カードの順序は任意でよい。

何ケースも続けて計算を行なう場合には

\*\*\*END

の前に、2 ケース目以下のデータカードを上と同じ形式、順序で入れる。この際、「タイトル」は各ケースごとに名前を付けると、計算結果の分類に便利である。

データカードの省略については、機体諸元、発射条件、計算条件の各指定が直前のケースと同じ内容のものは省略してもよい。したがって、省略しなかったものの枚数を「タイトル」カードの第11字目から2桁の数字で書く。（すなわち、10枚未満の場合は頭に0を必ず付けること。）

グラフの種類の指定に関しては、直前のケースと全く同じ種類のグラフである場合（順序は任意）は、「タイトル」カードの *m* を 0 にして種類指定のカードは省略できる。ただし、1 種類でも異ったグラフを描きたい時は、必要とするグラフ全部の種類を指定することが必要である。

風のデータの省略に関しては、直前のケースの風のデータをそのまま使用する場合には、「タイトル」カードの *n* を -1 にして、高度・風速・風向のデータカードを全部省略することが可能である。

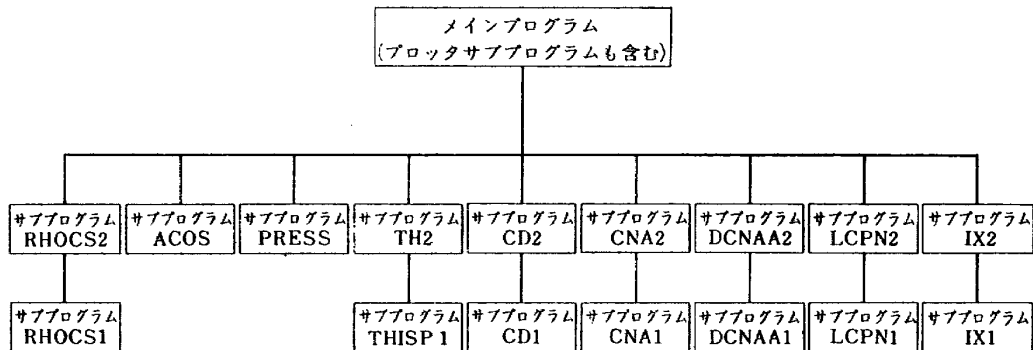


図 20 チェインジョブ構成図

## 〔全体のカードの配列〕

プログラムを含めた全体のカードの配列は次のとおりである。

\$	ID	HIJÖB
\$ SYSUT8	EQUAL	E1
\$	HIJÖB	
\$ TC2	HARP	
\$ PLÖTSUB	LÖADER	およびバイナリデック
\$ AXISSUB	LÖADER	"
\$ LINESUB	LÖADER	"
\$ SCALESUB	LÖADER	"
\$ ACÖS	LÖADER	"
\$ RHÖCS2	LÖADER	"
\$ RHÖCS1	LÖADER	"
\$ PRESS	LÖADEP	"
\$ TH2	LÖADER	"
\$ CD2	LÖADER	"
\$ CNA2	LÖADER	"
\$ DCNAA2	LÖADER	"
\$ LCPN2	LÖADER	"
\$ IX2	LÖADER	"

THISP1 のカード

CD1 のカード

CNA1 のカード

DCNAA1 のカード

LCPN1 のカード

IX1 のカード

\$	DATA
----	------

データカード

\$	EOF
----	-----

2番目のカード \$ SYSUT8…は XYプロックを使用するためコントロールカードであり、5番目以降のデ

ックは、すでに機械語として翻訳されているプログラムである。したがって、本プログラムを用いて、ロケットの飛しょう計算を行なおうとする場合には、そのロケット個々について、サブプログラム THISP1, CD1, CNA1, DCNAA1, LCPN1, IX1 およびデータカードを作成し上記のとおりの配列に並べればよい。

## 〔計算機記憶容量への配慮〕

このプログラムで使用するコアはメインプログラム TC2 だけでも約 15K 語を必要とし、この他、プロック用サブプログラム、THISP1, CD1 など全部で20 個のサブプログラムを使用するので、記憶容量の大きな計算機が必要である。そこで、65K語のコア容量をもつ計算機を用いる場合には問題ないが、32K語以下の計算機を用いる場合には、チェインジョブの方法によらなければならない。本プログラムをチェインジョブにより処理する場合には、図20の構成によりカードデックを編成する。この図に示した番号  $\alpha$  を用いて、各デックに

\$  $\alpha$  CHAIN

なるカードを付ける。

## 〔計算結果〕

計算結果は、データカードの中の「SITEI」により、次のように表わされる。

SITEI 1.0 は全計算結果のプリント

SITEI 2.0 は全計算結果のプリントとグラフ

SITEI 3.0 は最終結果のプリントとグラフ  
プリント間隔は、データカード中の「PRINTTIME」により表わされる。プリントされる結果は下記の項目についてである。

見出し	内 容	単位
TIME	時 刻	sec
X	水平飛しょう距離 (東が正)	m

Y	水平飛しょう距離 (北が正)	m	IY	ヨー軸まわりの慣性モーメント
Z	高 度	m		ton·m·sec <sup>2</sup>
U	機体座標系の速度の $x_B$ 成分	m/sec	I <sub>Z</sub>	ピッチ軸まわりの慣性モーメント
V	機体座標系の速度の $y_B$ 成分	m/sec		ton·m·sec <sup>2</sup>
W	機体座標系の速度の $z_B$ 成分	m/sec	DWEIGHT	重量の時間変化率 ton/sec
VELOCITY	対地速度の絶体値	m/sec	MP	ロールモーメント合成値 ton·m
VX	対地速度の $x$ 成分	m/sec	MP1	翼のミスアライメントによるロールモーメント ton·m
VY	対地速度の $y$ 成分	m/sec	MP2	ロール減衰モーメント ton·m
VZ	対地速度の $z$ 成分	m/sec	MP3	ロール外力によるロルモーメント ton·m
DU	加速度 (G 値) の $x_B$ 成分		FUKŌ	風向 (真北を 0° にし, 時計回りを正にとる。) deg
DV	加速度 (G 値) の $y_B$ 成分		FUSOKU	風速 m/sec
DW	加速度 (G 値) の $z_B$ 成分		MQ	ピッチモーメント合成値 ton·m
VVA	対気速度の絶体値	m/sec	MQ1	空気力によるピッチモーメント ton·m
UA	対気速度の $x$ 成分	m/sec	MQ2	ピッチ減衰モーメント ton·m
VA	対気速度の $y$ 成分	m/sec	MQ3	ピッチ外力によるピッチモーメント ton·m
WA	対気速度の $z$ 成分	m/sec		
VWBX	風速の $x_B$ 成分	m/sec	MQ4	推力ミスアライメントによるピッチモーメント ton·m
VWBY	風速の $y_B$ 成分	m/sec	MO5	ジェットダンピング ton·m
VWBZ	風速の $z_B$ 成分	m/sec	MR	ヨーモーメント合成値 ton·m
IDV+DWI/G	機体に印加する横加重 (G 値)		MR1	空気力によるヨーモーメント ton·m
P	スピンドル回転数	rps	MR2	ヨー減衰モーメント ton·m
Q	ピッチ角速度	deg/sec	MR3	ヨー外力によるヨーモーメント ton·m
R	ヨー角速度	deg/sec		
ROLL	横揺れ角	deg	MR4	推力ミスアライメントによるヨーモーメント ton·m
PITCH	上下角	deg	MR5	ジェットダンピング ton·m
YAW	偏揺れ角	deg		なお計算結果のプリントに先立って、入力データのプリントが印字される。
MACH	マッハ数			データカードの SITEI で 2.0 または 3.0 と指定しておけば計算結果はグラフに描かれる。このグラフに描かれるデータはいったん磁気テープに書かれ、計算終了後に磁気テープから X Y プロッタに移されグラフが描かれるので、この磁気テープを保管しておけば同じグラフを後で何回でも書かせることができる。
DP	スピンドル回転加速度	deg/sec <sup>2</sup>		
DQ	ピッチ角加速度	deg/sec <sup>2</sup>		
DR	ヨー角加速度	deg/sec <sup>2</sup>		
DROLL	横揺れ角速度	deg/sec		
DPICH	上下角速度	deg/sec		
DYAW	偏揺れ角速度	deg/sec		
D <sub>O</sub> ATU	動圧	ton/m <sup>2</sup>		
DRAG	抗力	ton		
YY	空気力による横力	ton		
N	空気力による法線力	ton		
RH <sub>O</sub>	大気密度	ton·s		
THRUST	推力	ton		
WEIGHT	重量	ton		
ALPHA	迎角	deg		
BETA	横すべり角	deg		
G	重力の加速度	m/sec <sup>2</sup>		
IX	機軸まわりの慣性モーメント	ton·m·sec <sup>2</sup>		

## 8. 計 算 例

このプログラムの応用例として、人工衛星打上用ロケットの最終段をスピンドルで安定化した場合の効果について計算した例を示す。

人工衛星打上用ロケットの最終段は、mass ratio を

向上させるため、姿勢制御装置を付けずにスピンドルで安定を保持させる方がしばしば用いられる。外乱としては、前段を切り離す際に受ける tipping-off と推力のミスアライメントが考えられる。衛星本体の強度上の問題があるのでスピンドルの回転数はなるべく低くおさえる方が好ましいが、スピンドルの回転数を少なくした場合の飛しょう径路の分散が一方で問題になる。そこで、スピンドル回転数と飛しょう径路分散の関係について、二三のケースについて計算した。

仮定した機体諸元のおもなものは表1のとおりで、数十キログラム程度の衛星を打ち上げるためのロケットの最終段である。この最終段に点火する高度は 500 km、その時の速度は 4.3km/sec と仮定した。

外乱としては、前段を切り離す時の衝撃を 4.5kg·s としてデルタ関数の形で加えた場合と、推力のミスアライメント 0.0002 rad (すなわち約 0.1°) がある場合を考え、一方、スピンドル回転数としては毎秒 1 回転、3 回転、6 回転の 3 段階を仮定し、これらの組みあわせについて計算を行なった。ここで仮定した外乱の値は、かなり大きい目の値であり、もしもスピンドルをかけず姿勢制御もしなければ、切り離しの衝撃の場合は約 30 秒、推力ミスアラントメントの場合は約 5 秒で機体は約 90° 回転して、思わず方向に飛しようしてしまう程度の大きさである。

この計算の結果を簡単に述べると、切離しの衝撃を仮定した場合には、毎秒 1 回転のスピンドルをかけると約 20° の首振りをするみそり運動をするが、とにかく正常な方向に飛しょうする。しかし首を振る角度が大きいので約 100m/s の速度損失になる。毎秒 3 回転のスピンドルをかけると、首振りは約 5°、毎秒 6 回転のスピンドルをかけると約 1.7° となり、速度損失はほとんどなくなり、飛しょう径路角誤差も 1° 以下になる。推力のミスアライメントを仮定した場合は、Davis<sup>3)</sup> らも指摘しているように、スピンドル回転数が低くてもミスアライメントの影響が打ち消されてしまうので、スピンドルの効果が大きく、毎秒 1 回転でも、首振りの振幅を 5° 以下におさえることができる。

図21～図26は、首振りの様子を見るため、縦揺れ角と偏揺れ角の変化をプロットさせたものである。人工衛星打上用ロケットの最終段は、ほぼ水平に飛しょうする（そうしないと軌道に乗らない）ので、θ-ψ 曲線が首振りを表すことになるわけである。プロットの間隔は 0.2 秒、×印の間隔は 0.6 秒である。図21～図23が tipping-off の場合、図24～図26がミスアライメントの場合で、外乱によって首振りのパターンが異なる

ことが、はっきり見られる。図24のパターンは、線型化して解いた理論的解析（たとえば文献<sup>22)</sup>）の結果と一致する。

所要時間は、1 ケース約 5 分であった。

つぎに、空気力の影響の入った一例として、0.002 ラジアンの推力ミスアライメントのある小型ロケットに毎秒 3 回転のスピンドルを与えて地上から発射した場合の計算結果を図27に示す。機体諸元、推力曲線、空力微係数等は、NAL-16-IT のデータ<sup>23)</sup>を借用した。

表 1 機体諸元

発射時全備重量	1.0 ton
燃料重量	0.7 ton
機体重量	0.3 ton
機体長さ	3.1 m
直 径	0.7 m
平均推力	5.0 ton
Isp	270 sec
燃焼時間	38 sec
空力微係数	(高高度なので関係ない)

表 2 計算条件

発射高度	500 km
発射初速度	4.3 km/sec
スピンドルレート	1,3 および 6 rps
ティプオフ外乱	4.5 kg·sec
計算打切り時間	10 sec
ジェットダンピング	(16')式で計算

## 文 献

- 1) 鷲津久一郎；質量および重心位置が時間とともに変化するロケット航空機の運動方程式、日本航空学会誌、第5巻第43号（昭和32）
- 2) 玉木章夫、三石智、永井達成；カッパ 7, 8, 9L 型ロケットの空気力学、生産研究、第13巻第10号（昭和36）
- 3) L. Davis, J. W. Follin and L. Blitzer; Exterior Ballistics of Rockets, D. van Nostrand Co. (1958)
- 4) K. Jarmolow; Dynamics of Spinning Rocket with Varying Inertia and Applied Moment, J. Appl. Phys., Vol. 28, No. 3 (1957)
- 5) M. C. William; Method for Approximating the Vacuum Motion of Spinning Symmetrical Bodies with Nonconstant Spin Rates, NASATR R-115

- (1961)
- 6) A. G. Bennett; A Note on the Motion of a Spinning Rocket with Eccentric Thrust, J. A. S. vol. 28, No. 5 (1961)
  - 7) 秋葉鎧二郎, 松尾弘毅, 佐伯信吾; L-3H-1, 2, 3 および L-4S-1, 2 の性能計算, 宇宙航空研究所報告, 第3卷第1号B (昭和42)
  - 8) T. Nomura; Trajectory Computation by Hybrid Computer, Proc. 7th International Space Science and Technology Symposium (1967)
  - 9) 戸川隼人, 石黒登美子; ロケットの飛しょう径路計算のためのプログラム, 航技研資料TM-109 (昭和42)
  - 10) 松浦陽恵, 樋口一雄, 池谷光栄, 堀川勇壮, 百名盛之, 三好範子, 村上力, 岡部正典; 汎用飛行シミュレータ設備の計画, 構造および特性, 航技研報告TR-70 (昭和40)
  - 11) 野村政彦; 固形燃料の燃焼に伴う飛しよう体の重心位置および慣性モーメントの変化について, ロケット研究会ノート, 第1卷第16号 (昭和34)
  - 12) R. J. Harris; Trajectory Simulation Applicable to Stability and Control Studies of Large Multi-Engine Vehicles, NASA TN-D-1838 (1963)
  - 13) C. Grubin; Resolution of the 90° Euler Angle Singularity, AIAA Journal, Vol. 2, No. 11 (1965)
  - 14) A. E. Seames; Jet Damping of Symmetric Rockets, AIAA Journal, Vol. 3, No. 4 (1965)
  - 15) W. E. Thomson and G. S. Reiter; Jet Damping of a Solid Rocket, Theory and Flight Results, AIAA Journal, Vol. 3, No. 3 (1965)
  - 16) N. Rott; Simplified Calculation of the Jet-Damping Effects, AIAA Journal, Vol. 2, No. 4 (1964)
  - 17) R. C. Brown, Jr.; High Speed Computer Simulation of Missile Performance, Proc. Aerospace Support and Operation Meeting (1961)
  - 18) L. E. Fogarty and R. M. Howe; Flight Simulation of Orbital and Re-entry Vehicles, IRE Trans. EC-11, No. 4 (1962)
  - 19) G. Hintze; Computers—The Answer to Real-Time Flight Analysis, Proc. WJCC (1959)
  - 20) J. B. Rosser; Mathematical Theory of Rocket Flight, Mc Graw-Hill Co. (1947)
  - 21) 遠藤宏二(編); ロケット工学, (昭35)
  - 22) A. Azuma; Linear Dynamic Analysis of the Spinning Axisymmetrical Rocket or Vehicle, Tokyo University ISAS Report No. 399, (1965)
  - 23) ロケット性能研究室; NAL-16 ロケットの研究試作および飛しょう実験, 航技研報告, TR-115, (1966)

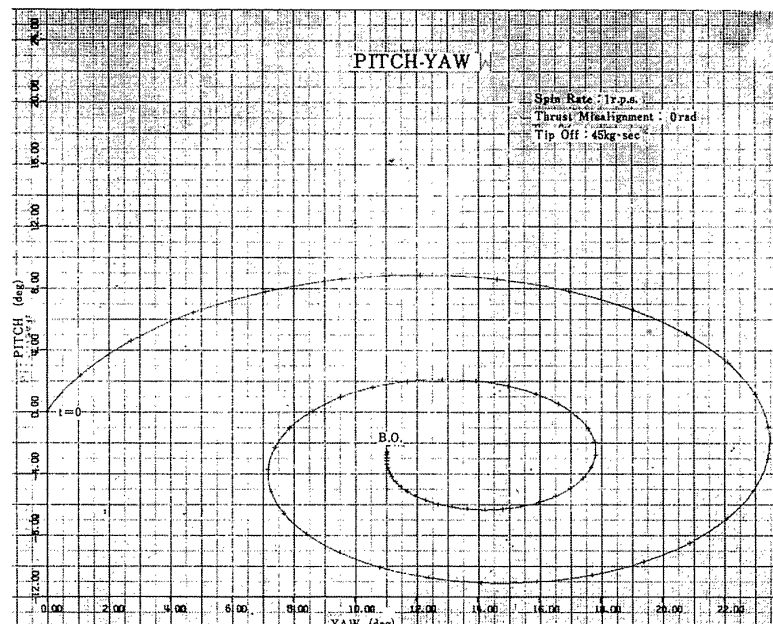


図 21

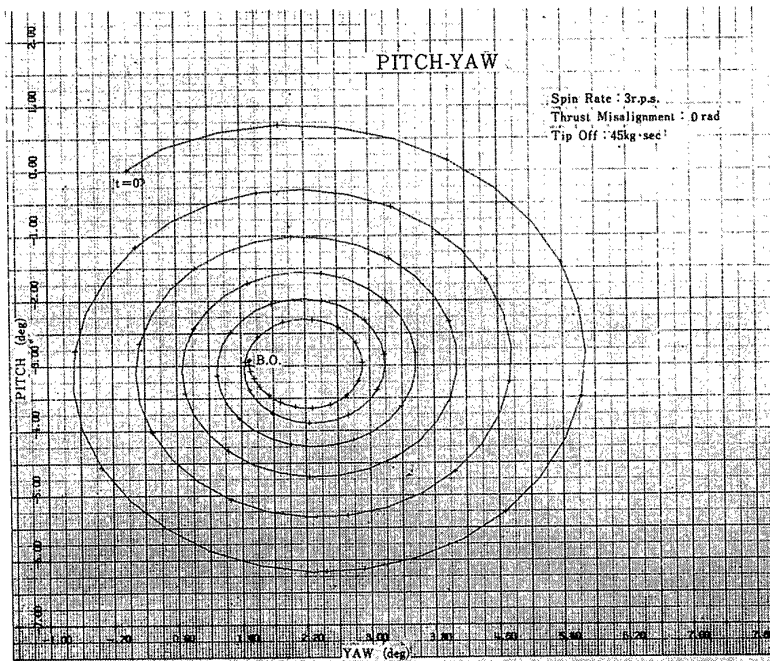


図 22

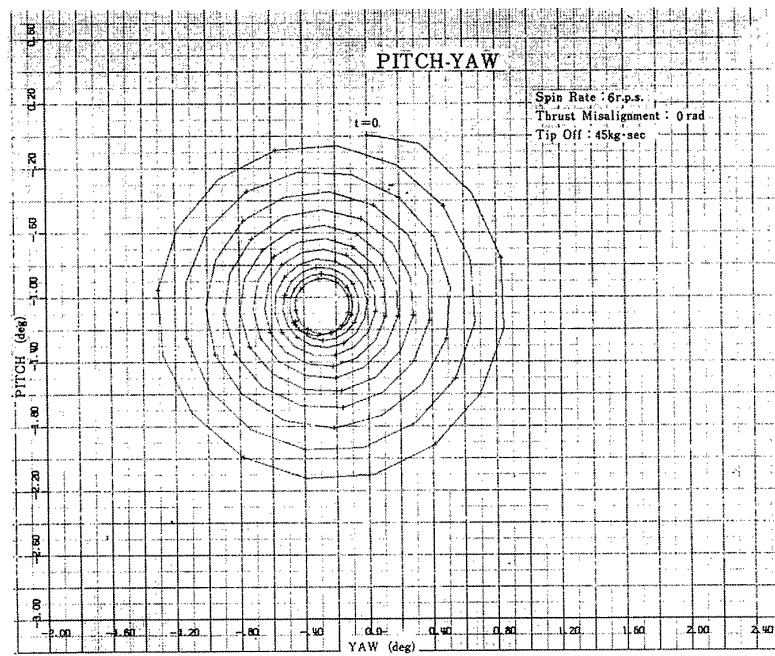


図 23

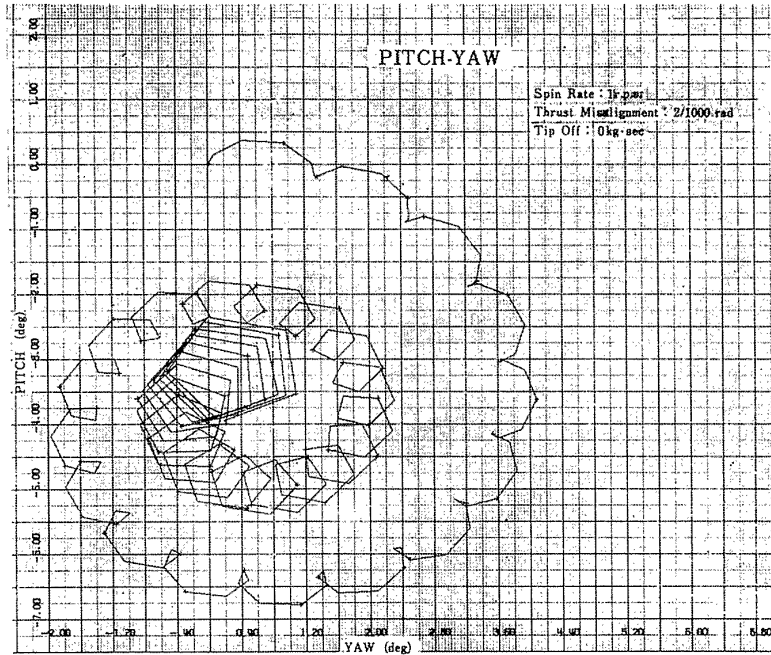


図 24

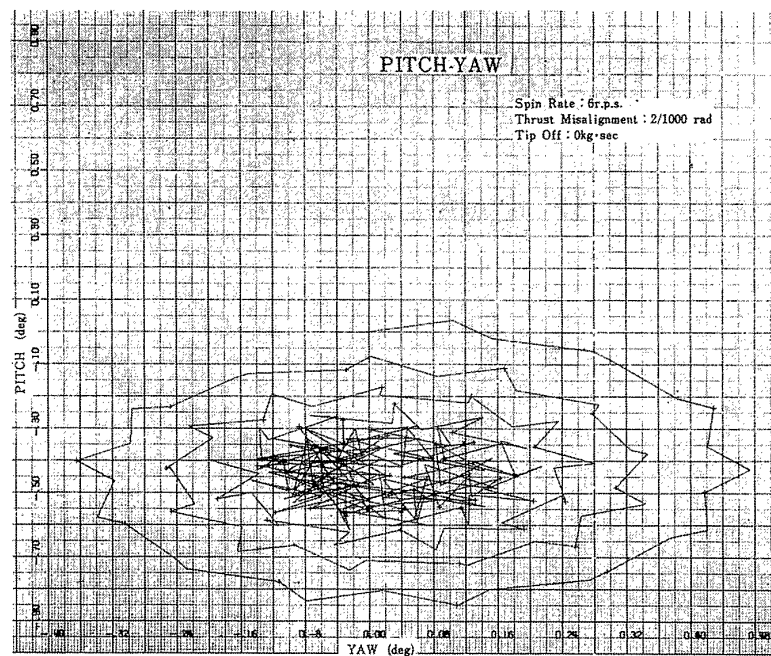


図 25

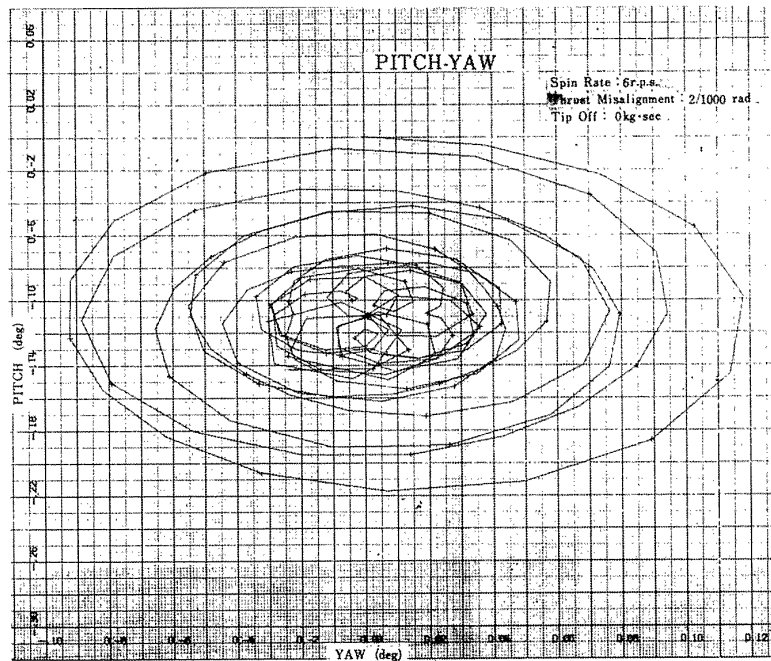


図 26

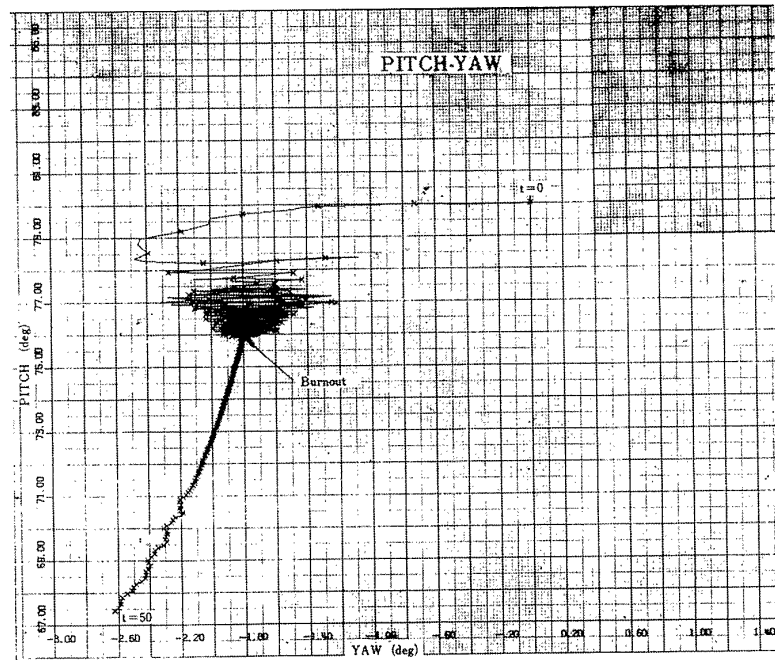


図 27 推力ミスマランメントのある小型ロケットを地上から発射した場合

## 付 錄 データカードおよび外部サブルーチンの実例

(前記計算例に使用したもの。Case 1 が図22, Case 2 が図25に対応する。)

C 1	式番号 5 6 7	つづき番号 10	20	30	40	50
		SUBROUTINE THISP1				
		COMMON /THRI/ TH(200), HTH, THBAI/AEE/AE1, P0/ISPP/IISPI				
		REAL IISPI				
		IISPI=270.0				
		AE=0.85				
		TH(1)=5.0				
		TH(2)=5.0				
		HTH=38.0				
		THBAI=0.7*270.0/(38.0*5.0)				
		P0=101.325				
		RETURN				
		END				

C 1	式番号 5 6 7	つづき番号 10	20	30	40
		SUBROUTINE CIDL1			
		COMMON /CIDL1/CDMACH(2,20), CDLINE(2,20)			
		D01/01 J=1,2			
		D01/01 N=1,2			
	1,0	CDLINE(J1,N1)=0.0			
		CDMACH(1,1)=0.0			
		CDMACH(1,2)=30.0			
		CDMACH(2,1)=0.0			
		CDMACH(2,2)=30.0			
		RETURN			

C	式番号	つづき番号	5	6	7	10	20	30	40
		SUBROUTINE				CNAI			
		COMMON	/	CNAIA	/CNAIM(20)	,	CNAL(20)		
		CNAIM(1)=	0.	0					
		CNAIM(2)=	30.	0					
		CNAL(1)=	15.	0					
		CNAL(2)=	15.	0					
		RETURN							
		END							

C	式番号	つづき番号	5	6	7	10	20	30	40
		SUBROUTINE				DICNIAI			
		COMMON	/	DICNAIB	/DICNAM(20)	,	DICNAL(20)		
		DICNAL(1)=	0.	0					
		DICNAL(2)=	0.	0					
		DICNAM(1)=	0.	0					
		DICNAM(2)=	30.	0					
		RETURN							
		END							

C 1	式番号 5 6	つづき番号 7 10	20	30	40
		SUBROUTINE	LCPN1		
		COMMUN.	/LCPNN, /LCPNM(20), /LCPNL(20)		
		REAL	LCPNM, LCPNL		
		LCPNL(1) = 60.0			
		LCPNL(2) = 60.0			
		LCPNM(1) = 0.0			
		LCPNM(2) = 30.0			
		RETURN			
		END			

--	--

1	10	20	30	40
CASE-1	52	00	04	
WEIGHT	1.0			
WB0	0.3			
WPO	0.7			
SBODY	0.3815			
SWING	0.0			
L	3.1			
SPAN	0.35			
LMP	3.1			
LMY	3.1			
RILAGE	0.34			
RISMOL	0.15			
DCP	0.0			
LCGS	1.33			
LCGP	1.50			
IS	0.025			
IPO	0.0742			
ISXO	0.0026			
CLP	-0.1			
CMQ	-6.2			
\$	名前欄	操作欄		



## TC - 2 メインプログラム

```

***** TRAJECTORY CALCULATION, NO. 2 *****
. DOUBLE LENGTH INTEGER LABEL,FILE,IPLUT,ISYML,IAX1,IAX2      TC2    1
. INTEGER WAY,FM                                         TC2    2
. DIMENSION Y(13),DY(13),RKGD(13),VE(6),A(6,6),VWB(6),VWE(3),NAME(52)TC2  3
1),INAME(12),IDATA(52),DATA(52),VW(40),FUKU(40),TAKASA(40),FLV(1002)TC2  4
2),PLW(1002),PLP(1002),PLP1T(1002),PT(1002),PX(1002),PY(1002),PZ(1002)TC2  5
3U2),PA(1002),PL2(1002),PVY(1002),FM(4),IPLUT(18),IP(18),COM1(1002)TC2  6
4,COM2(1002),FLYAW(1002)                                         TC2    7
COMMON /3SPR/ISP                                         TC2    8
COMMON /AEE/AE,P0                                         TC2    9
COMMON /THK/TH(51),HTH,THAI                                         TC2   10
COMMON /CUM/1,X,W,A1,Z,U,V,W,P,U,R,RULL,PITCH,YAW/CUMH/VWX,VWY,VWZ  TC2   11
EQUIVALENCE(X,Y)
REAL M,ISH,MACH,LRC,LCPN,LCG,N,LPC,LYC,IX,MP,MS,IY,IZ,LCGP,LCGS,  TC2   12
1IM0,IS,MMU,MP1,MP2,MP3,MM1,MM2,MM3,MR1,MR2,MR3,L,NAME,          TC2   13
2MU4,MR4,LMP,LMY,ISXU,MUD,MR5,LAUNCH                         TC2   14
GU=9.798265                                         TC2   15
RU=6.3/E0                                         TC2   16
PAI2=3.14159265358979*2.                                         TC2   17
DEGREE=5/,295//952                                         TC2   18
I0=3                                         TC2   19
P1=0.                                         TC2   20
P2=0.3                                         TC2   21
P4=0.5                                         TC2   22
P5=1.                                         TC2   23
P9=6.                                         TC2   24
P10=9.                                         TC2   25
P12=11.                                         TC2   26
P13=12.                                         TC2   27
P19=15.                                         TC2   28
P20=90.                                         TC2   29
CALL THISM1                                         TC2   30
CALL C01                                         TC2   31
CALL LCPN1                                         TC2   32
CALL CNA1                                         TC2   33
CALL DUNAA1                                         TC2   34
CALL RHOU$1                                         TC2   35
***** INPUT ROUTINE *****
INAME( 1)=4HWL13                                         TC2   36
INAME( 2)=4HX                                         TC2   37
INAME( 3)=4HY                                         TC2   38
INAME( 4)=4HZ                                         TC2   39
INAME( 5)=4HU                                         TC2   40
INAME( 6)=4HV                                         TC2   41
INAME( 7)=4HW                                         TC2   42
INAME( 8)=4HF                                         TC2   43
INAME( 9)=4HR                                         TC2   44
INAME( 10)=4HP                                         TC2   45
INAME( 11)=4HRL                                         TC2   46
INAME( 12)=4HPI13                                         TC2   47
INAME( 13)=4HYAW                                         TC2   48
INAME( 14)=4HLMY                                         TC2   49
INAME( 15)=4HF USU                                         TC2   50
INAME( 16)=4HVWZ                                         TC2   51
INAME( 17)=4HSB03                                         TC2   52
INAME( 18)=4HDCP                                         TC2   53
INAME( 19)=4HFMA                                         TC2   54
INAME( 20)=4HCLP                                         TC2   55
INAME( 21)=4HB                                         TC2   56
INAME( 22)=4HLRC                                         TC2   57
INAME( 23)=4HFRG                                         TC2   58
INAME( 24)=4HCMQ                                         TC2   59
INAME( 25)=4HL                                         TC2   60
INAME( 26)=4HLPC                                         TC2   61
INAME( 27)=4HF PC                                         TC2   62
INAME( 28)=4HCNR                                         TC2   63
INAME( 29)=4HLYC                                         TC2   64
INAME( 30)=4HF YC                                         TC2   65
INAME( 31)=4HBU                                         TC2   66
INAME( 32)=4HLCGP                                         TC2   67
INAME( 33)=4HLGGS                                         TC2   68
INAME( 34)=4H1PL                                         TC2   69
INAME( 35)=4HJS                                         TC2   70
INAME( 36)=4HWPG                                         TC2   71
INAME( 37)=4H1                                         TC2   72
INAME( 38)=4HRENS                                         TC2   73
INAME( 39)=4HTENU                                         TC2   74
INAME( 40)=4HSITE                                         TC2   75
INAME( 41)=4HF UKJ                                         TC2   76
INAME( 42)=4HTMAP                                         TC2   77
INAME( 43)=4HTMAY                                         TC2   78
INAME( 44)=4HLMR                                         TC2   79
INAME( 45)=4HFRIV                                         TC2   80

```

```

INAME(46)=4HSWIN      TC2  84
INAME(47)=4HBUII      TC2  85
INAME(48)=4HISXU      TC2  86
INAME(49)=4HRILA      TC2  87
INAME(50)=4HRISM      TC2  88
INAME(51)=4HLAUN      TC2  89
INAME(52)=4HIGHNI     TC2  90
IPLOT(1)=1UHTIME=X    TC2  91
IPLOT(2)=1UHTIME=Y    TC2  92
IPLOT(3)=1UHTIME=Z    TC2  93
IPLOT(4)=1UHTIME=UV   TC2  94
IPLOT(5)=1UHTIME=V    TC2  95
IPLOT(6)=1UHTIME=MACH TC2  96
IPLOT(7)=1UHTIME=DOATU TC2  97
IPLOT(8)=1UHTIME=ALPHA TC2  98
IPLOT(9)=1UHTIME=PITCH TC2  99
IPLOT(10)=1UH   Z-UV   TC2 100
IPLOT(11)=1UH   Z-V    TC2 101
IPLOT(12)=1UH   Z-MACH  TC2 102
IPLOT(13)=1UH   Z-DOATU TC2 103
IPLOT(14)=1UH   X-Y    TC2 104
IPLOT(15)=1UH   X-Z    TC2 105
IPLOT(16)=1UH   Y-Z    TC2 106
IPLOT(17)=1UHALPHA-BETA TC2 107
IPLOT(18)=1UHPITCH-YAW  TC2 108
1000 READ(5,1)LABEL,NAS,IPR,NUVV
1 FORMAT(A8,2X12,8X12,8X12)
IF(LABEL,EQ,8H**ENR ) STOP
READ(5,2)(IDATA(I),DATA(I),I=1,NAS)
2 FORMAT(A4,6XF20,1U)
DO 3 I=1,NAS
DO 4 J=1,52
IF(IDATA(I),EQ,INAME(J)) GO TO 6
4 CONTINUE
WRITE(6,5)
5 FORMAT(5X28HERROR DATA CARD IS INVALID.)
STOP
6 NAME(J)=DATA(I)
3 CONTINUE
IF(IPR.EQ.0) GO TO 15
IF(IPR.EQ.-1) GO TO 15
DO 12 I=1,17
12 IF(I)=0
READ(5,7)(IP(I),I=1,IPR)
7 FORMAT(8(12,8X))
15 WEIGHT=NAME( 1)
X     =NAME( 2)
WAI   =NAME( 3)
Z     =NAME( 4)
U     =NAME( 5)
V     =NAME( 6)
H     =NAME( 7)
P     =NAME( 8)
Q     =NAME( 9)
R     =NAME(10)
ROLL  =NAME(11)
PITCH =NAME(12)
YAW   =NAME(13)
LHY   =NAME(14)
VWD   =NAME(15)
VWZ   =NAME(16)
S     =NAME(17)
DCP   =NAME(18)
ANGLF =NAME(19)
CLP   =NAME(20)
B     =NAME(21)
LRC   =NAME(22)
FRC   =NAME(23)
CMQ   =NAME(24)
L    =NAME(25)
LPC   =NAME(26)
FPC   =NAME(27)
CNR   =NAME(28)
LYC   =NAME(29)
FYC   =NAME(30)
WS    =NAME(31)
LCGP  =NAME(32)
LCGS  =NAME(33)
IPD   =NAME(34)
IS    =NAME(35)
WPO   =NAME(36)
T    =NAME(37)
NENSHO=NAME(38)
TEND  =NAME(39)

```

```

ISITEI=NAME(4U)                                     TC2 168
FUKOU =NAME(41)                                    TC2 169
EPSP  =NAME(42)                                    TC2 170
EPSY  =NAME(43)                                    TC2 171
LMP   =NAME(44)                                    TC2 172
OUTTIME=NAME(45)                                   TC2 173
SW    =NAME(46)                                    IC2 174
FINAL =NAME(47)                                   IC2 175
ISX0  =NAME(48)                                   IC2 176
VILLAGE=NAME(49)                                 IC2 177
RISMOL=NAME(50)                                 IC2 178
LAUNCH=NAME(51)                                IC2 179
BIGIN =NAME(52)                                TC2 180
T1=0.0                                         TC2 181
DY(3)=0.0                                       TC2 182
DY(4)=0.0                                       TC2 183
DY(9)=0.0                                       TC2 184
T1=T1-BIGIN                                     TC2 185
IF(NOVW.EQ.0) GO TO 2050                         TC2 186
READ(5,50)  (VW(IAB),IAB=1,NOVW)                TC2 187
READ(5,50)  (FUKU(IAB),IAB=1,NOVW)              TC2 188
READ(5,50)  (LAUNCH(IAB),IAB=1,NOVW)             TC2 189
50 FORMAT(8F10.1)                                TC2 190
2050 FUKO(1)=FUKOU                            TC2 191
VW(1)=VWJ                                     TC2 192
VWE(3)=VWZ                                     TC2 193
GU TU (156,157,158,159,159),RENSHU            TC2 194
155 FIRE=6HSUL10                               TC2 195
GU TU 149                                     TC2 196
156 FIRE=6HTANMER                            TC2 197
GU TU 149                                     TC2 198
157 FIRE=6HZENMER                            TC2 199
GU TU 149                                     TC2 200
158 FIRE=6HNAIMER                            TC2 201
GU TU 149                                     TC2 202
159 FIRE=6HILIOUDI                           TC2 203
149 WRITE(6,150)LAEL,WEIGHTI,X,U,P,RULL,VW0,WS,WAT,V,U,PITCH,FUKOU,WPUTC2 204
1,Z,W,R,YAW,VKZ,_CGP,IS,DCP,CLP,LRC,LOGS,IPU,SW,CMD,FPC,LPC,L,ITC2 205
25XU,B,CHN,TC2LYC                             TC2 206
150 FORMAT(1H1,20X,10H-----,3X,48   ,17H INPUT DATA TABLE,3X,10H-TC2 207
1-----//1X,0!WEIGHTI,E13.6,2X,1HX,4X,E13.6,2X,1HU,4X,E13.6,2X,1HIC2 208
2H,4X,E13.0,2X,5!RULL ,E13.0,7H VWU ,E13.0,2X2HWS,3X,E13.6, /H YIC2 209
3   ,E13.0,7H V   ,E13.0,7H G   ,E13.0,7H PIICH,E13.6,7H FUKTC2 210
40U,E13.6/2X3HWPF2X,E13.0,2X1H24X,E13.6,2X1HW4X,E13.6,2X1HR4X,E13.6TC2 211
5,2X3HYAW2X,E13.6,2X6HWV22X,E13.6/2X4HLCGP1X,E13.6,2X2HIS3XE13.6,2XTC2 212
6&HDCP2X,E13.6,2X3HCLP2X,E13.6,2X3HFC2X,E13.6,2X3HLRC2X,E13.6/2X4HLT2 213
7CGS1X,E13.6,2X6!IPU2XE13.6,2X4HSH   ,1X,E13.6,2X6HUMQ2X,E13.6,2X, TC2 214
83HFPC2X,E13.6,2X3HLPCC2X,E13.6/2X1HL4X,E13.6,2X4HISX01XE13.6,2X14B4TC2 215
9X,E13.6,2X3HCNK2X,E13.6,2X3HFYC2X,E13.6,2X3HLYC2X,E13.6)           IC2 216
WRITE(6,151) S,ANGLF,EPSY,LMP,RISLAGE,RISMOL   IC2 217
151 FORMAT(1H ,1X1H54XE13.6,2X5HDELTAE13.6,2X4HEPSP1X,E13.6,2X4HEPSY1XT2 218
1,E13.6,2X6HLMH2X,E13.6,2X3HLMY2X,E13.6/          IC2 219
21X6HRILAGE,E13.6,1X6HRISMUL,E13.6)             TC2 220
WHITE(6,160UT,BIGIN,FINAL,TEND,OUTTIME,LAUNCH,FIKE ,NOVW,ISITEI  TC2 221
160 FORMAT(1H ,2X1Hf3X,E13.0,1X5HBIGIN1X,E13.6,1X5HFINAL1X,E13.6,2X4HTTC2 222
1END1X,E13.6,2X24KK3X,E13.6,1X6HLAUNCH,E13.6///  TC2 223
23X,13HNEŃSHU TYPE: ,A8/3X22HNUMBER OF WIND DATA = ,I3/3X6HSITEI=,ITC2 224
51/3X,9HPLUTTER :)                                IC2 225
1F(IPR.EQ.0) GU TO 180                          TC2 226
IPN=1                                         IC2 227
I=1                                         TC2 228
170 IF(IP(1).NE.0) GO TO 171                  TC2 229
GU TO 175                                     TC2 230
171 II=IPN+1                                    TC2 231
IF(IPN.EQ.1U) GO TO 172                      TC2 232
IF(IPN.GT.9) GO TO 176                      TC2 233
GO TO 173                                     TC2 234
172 WRITE(6,1/4)                                TC2 235
174 FORMAT(1H )                                TC2 236
176 II=IPN-8                                    TC2 237
173 NN=12*(II-1)                                TC2 238
FM(1)=DH(1H+,          TC2 239
FM(2)=IBTOU(NN)                                TC2 240
FM(3)=DHX,A1D          TC2 241
FM(4)=DH,1H,)        TC2 242
IPP=IP(1)                                     TC2 243
WRITE(6,FM)IPLOT(IPP)                         TC2 244
IPN=IPN+1                                    TC2 245
175 IF(I.GE.18) GO TO 180                      TC2 246
I=I+1                                         TC2 247
GU TO 170                                     TC2 248
**** INITIAL SET ****                         TC2 249
180 FINAL=FINAL+T+B(GIN)                      TC2 250
BIGIN=BIGIN+T                      TC2 251

```

```

NN=1          TC2  252
JU=2          TC2  253
ZL=LAUNCH*SIN(PITCH)  TC2  254
Y(13)=Y(10)-90.0  TC2  255
200 DO 201 I=11,13  TC2  256
201 Y(I)=Y(I)*U,G1/45329  TC2  257
Y(8)=Y(8)*PAI2  TC2  258
Y(9)=Y(9)/DEGREE  TC2  259
Y(10)=Y(10)/DEGREE  TC2  260
DO 202 I=1,13  TC2  261
202 RKG3(I)=U,U  TC2  262
SINP=SIN(EPSP)  TC2  263
COSY=COS(EPSY)  TC2  264
COSP=COS(EPSP)  TC2  265
SINY=SIN(EPSY)  TC2  266
TTANGL=SQRT((SINP/COSH)**2+(SINY/COSY)**2)  TC2  267
THANGL=ATAN(TTANGL)  TC2  268
CUST=COS(THANGL)  TC2  269
WAI=-WAI  TC2  270
Z=z  TC2  271
ICS=1  TC2  272
IST=0  TC2  273
M=WEIGHT/GU  TC2  274
MS=WS/GD  TC2  275
MWD=WPU/GU  TC2  276
GO TO(220,220,300),ISITEI  TC2  277
220 WRITE(6,221)  TC2  278
221 FORMAT(1H1,4X4HTIME6X8HVVELOCITY4X3HVVA8X9HDV+DWI/G5X4HMACH8X5HDOATC2 279
1TU7X5HALPHAB2HMP10X2HMD1UX2HMR/  TC2  280
24X1HX10X2HDX1UX2HUA10X1HP11X2HDP1UX4HDRAG8X4HBETAYX3HMP19X3HMQ19X3TC2 281
3HMR1/   4X1HY10X2HDY10X2HVA10X1HQ11X2HD010X2HYY10X1HG12X3HMP29X3TC2 282
4HM029X3HMR2/   4X1HZ1UX2HDZ1UX2HWA10X1HH11X2HUR10X1HN11X2HIX11TC2 283
5X3HMP39X3HMQ39X3HMR3/   4X1HU10X2HDU10X4HVWBX8X4HR0LL8X5HDRROLLTC2 284
67X3HMR09X2HIZ11X4HFUKU8X3HMO49X3HMR4/   4X1HV10X2HDV10X4HVWB8X5HTC2 285
7PITCH7X6HDPITCH6X6HTHRUST6X2HIZ11X6HFUSOKU6X3HMQ59X3HMR5/   4X1HW1TC2 286
8UX2HDW10X4HVWBZ8X3HYAH9X4HDYAH8X6HWEIGHT6X7HDWEIGHT)  TC2  287
**** CONTROL ****  TC2  288
300 PAA=ABS(Y/PAI2)  TC2  289
IF(PAA.LE,U,0) 30 TO 900  TC2  290
PPP=1,U/PAA/1U,U  TC2  291
IF(PPP,GT,U,01) GO TO 900  TC2  292
IF(PPP,GT,HTH) 30 TO 901  TC2  293
IF(T,GT,FINAL) 30 TO 902  TC2  294
GU TO 900  TC2  295
900 IF(T,GT,FINAL) 30 TO 904  TC2  296
IF(HTH,L1,U,01) GU TO 901  TC2  297
H=U,000  TC2  298
GU TO 950  TC2  299
901 H=HTH  TC2  300
GU TO 950  TC2  301
902 IH=IFIX(2,U*PPP*1000,U)  TC2  302
H=(FLOAT(IH))/1000,U  TC2  303
GO TO 950  TC2  304
903 IH=IFIX(PPP*1000,U)  TC2  305
H=(FLOAT(IH))/1000,0  TC2  306
GU TO 950  TC2  307
904 H=0,01  TC2  308
950 KKK=IFIX(0.011IM/H)+1  TC2  309
WAY=1  TC2  310
GO TO 400  TC2  311
**** HOJYO ROUTINE ****  TC2  312
400 SR=SIN(ROLL)  TC2  313
CR=COS(ROLL)  TC2  314
SP=SIN(PITCH)  TC2  315
CP=COS(PITCH)  TC2  316
SY=SIN(YAW)  TC2  317
CY=COS(YAW)  TC2  318
A(1,1)=CP*CY  TC2  319
A(1,2)=CP*SY  TC2  320
A(1,3)=-SP  TC2  321
A(2,1)=-SY*CR+SR*SP*CY  TC2  322
A(2,2)=CR*CY+SR*SP*SY  TC2  323
A(2,3)=CR*SR  TC2  324
A(3,1)=SR*SY+CR*SP*CY  TC2  325
A(3,2)=-SR*CY+CR*SP*SY  TC2  326
A(3,3)=CR*CR  TC2  327
DU 405 J=1,3  TC2  328
VE(J)=U,U  TC2  329
DU 406 I=1,3  TC2  330
VE(J)=VE(J)+A(I,J)*Y(I+4)  TC2  331
406 CONTINUE  TC2  332
405 CONTINUE  TC2  333
ABCDDUY=-U(1,0)  TC2  334
ABCDDY=-WAI  TC2  335

```

```

ABCDUZ=-UY(4)
ABCDZ=-Z
IF(TT.GT.FINAL) GU TO 1010
IF(TT.LE.J.U) GU TO 1010
CALL TH2(LT,THKST)
GU TO 1012
1010 THKUST=U,U
1012 G=GO*(HU/(HU-L))*2
GX=-G*SP
GY=G*SR*UP
GZ=G*CH*UP
IF(NUVW.EQ.U) GU TO 1014
IAB=1
51 IF(TAKASA(IAB)-ABCDZ)>2,52,53
52 IAB=IAB+1
IF(IAB.GE.NUVW) GU TO 50
GU TO 51
56 FUUKU=U,U
GU TO 54
58 FUSOKU=(VW(IAB)-VW(IAB-1))*(ABCDZ-TAKASA(IAB-1))/(TAKASA(IAB)-TAKA
1SA(IAB-1))+VW(IAB-1) TC2 355
FUAKO=(FUOKU(IAB)-FUOKO(IAB-1))*(ABCDZ-TAKASA(IAB-1))/(TAKASA(IAB)-TIC2 357
1AKASA(IAB-1))+FJKU(IAB-1) TC2 358
54 FUUKU=(FUOKU-YL,U)/DEUHcc TC2 359
VWE(1)=-FUSOKU*JCS(FUUKU) TC2 360
VWE(2)=+USJFJU*SIN(FUUKU) TC2 361
DU 407 I=1,3 TC2 362
VWB(I)=U,U TC2 363
DU 408 J=1,3 TC2 364
VWB(I)=VWB(1)+4(I,J)*VWE(J) IC2 365
408 CONTINUE
407 CONTINUE
UA=U-VWB(1) TC2 366
VA=V-VWB(2) TC2 367
WA=W-VWB(3) TC2 368
TC2 369
IF(ABCDZ.GT.ZL) GU TO 409
UA=U TC2 370
VA=0.0 TC2 371
WA=0.0 TC2 372
409 VVA=SQRT(UA**2+VA**2+WA**2) TC2 373
ALPHA=ATAN2(WA,JA) TC2 374
ACBETA=VA/VVA TC2 375
ACBETA=VA/VVA TC2 376
ACBETA=VA/VVA TC2 377

CALL ACOS(ACBETA,ACBTA) TC2 378
BETA=3.141593/2,U=ACBTA
IF(ABCDZ.GT.90000.) GU TO 411
CALL RHOC2(ABCDZ,ABCDUZ,1CS,RHO,CS) TC2 379
GU TO 412 TC2 380
411 RHO=U,U TC2 381
MACH=0.0 TC2 382
GU TO 417 TC2 383
412 MACH=VVA/U TC2 384
417 CALL CD2(LT,FINAL,MACH,U) TC2 385
D=D,5*S*RHO*VVA**2*CD TC2 386
CALL CNAZ(MACH,CNA) TC2 387
CYB=-CNA TC2 388
YY=0.5*S*RHO*VVA**2*CYB=BETA TC2 389
N=0.5*S*RHO*VVA**2*CNA*ALPHA TC2 390
MP=M*MS TC2 391
LCG=(MS*LUGS+MP*LCGP)/M TC2 392
CALL DCNA2(MA1,L,DCNA) TC2 393
FFF=0,5*S*RHO*VVA**2*ANGLEF TC2 394
FFF=FFF+DCNA TC2 395
DUATU=U,5*RHO*VVA**2 TC2 396
CALL LCPN2(MACH,L,LCPN) TC2 397
MP1=U,U TC2 398
MP2=U,U TC2 399
MP3=U,U TC2 400
MP4=U,U TC2 401
MP5=U,U TC2 402
MU1=U,U TC2 403
MU2=U,U TC2 404
MU3=U,U TC2 405
MU4=U,U TC2 406
MU5=U,U TC2 407
MK1=U,U TC2 408
MK2=U,U TC2 409
MK3=U,U TC2 410
MK4=U,U TC2 411
MK5=U,U TC2 412
IF(ABCDZ.L.,ZL) GU TO 413 TC2 413
MP1=DCP*FM TC2 414
MP2=CLP+H**2*DUATU*M/2,U/VVA*S TC2 415
MP3=LRC*FCU TC2 416
MU1=-(LCMN-LCG)*N TC2 417
MU2=CMU*L**2*DUATU*U/2,U/VVA*S TC2 418
416 MU3=(LPC-LCG)*FPC TC2 419

```

```

IF(T.GT.U,1) MU3=U,0          TC2 420
MU4=THRUST1*SINPH*(LCG-LMP)  TC2 421
MR1=-(LCG-LCG)*YY           TC2 422
MR2=CNH*L**2*JDATU*R/2,U/VVA*S  TC2 423
MR3=(LYC-LCG)*YC             TC2 424
MR4=THRUST1*SINY*(LCG-LMY)   TC2 425
GU TO (420,421,421,421),NENSHU  TC2 426
420 DUISQR=(HS/1)**2*UY(1)*(LCGP-LCGS)**2-MS*(1.0-MS/M)*2,0*(LCGP-LCGS)TC2 427
    1)**2/FIGAL-IPU/4PU*UY(1)  TC2 428
    GU TO 424                 TC2 429
421 DUISQR=(HS/1)**2*UY(1)*(LCGP-LCGS)**2-IPU/MPO*UY(1)  TC2 430
424 AJT=((L-LCG)**2-(LCGP-LCG)**2)*UY(1)               TC2 431
    MU5=(AJT+UDI-FUR)*U        TC2 432
    MR5=(AJT+UDI-FR)*R         TC2 433
410 EMP=MP1+MP2+MPS           TC2 434
    EMQ=MQ1+MQ2+HQ3+HQ4+HQ5   TC2 435
    EMR=MR1+MR2+MR3+MR4+MR5   TC2 436
413 LY=MP*MS/M*(LCG-P-LCGS)**2+IPU*MP/MPO+IS      TC2 437
    LZ=LY                         TC2 438
**** DY ROUTINE ****          TC2 439
500 UY(1)=-THRUST1/(30*ISP)   TC2 440
    MPO=MPO*GU                   TC2 441
    CALL IX2(1,UY(1),VILAGE,RISMOL,ISXO,HPO,NENSHO,IX)  TC2 442
    MPO=MPO/GU                   TC2 443
    UY(2)=VE(1)                  TC2 444
    UY(3)=VE(2)                  TC2 445
    UY(4)=VE(3)                  TC2 446
    VVV=SORT(UY(2)**2+UY(3)**2+UY(4)**2)                TC2 447
510 UY(5)=(THRUST1*CDST-U)/M+R*V-Q*W+GX           TC2 448
505 UY(6)=(THRUST1*SINT+YY)/M+R*W-R*U+GY           TC2 449
    UY(7)=(-THRUST1*SINP-N)/M+G*U-P*V+GZ           TC2 450
506 UY(8)=((1Y-I2)*JPO+EMR)/1Y                     TC2 451
    UY(9)=((1Z-IX)*R*P+EMR)/1Y                     TC2 452
    UY(10)=((1X-IY)*P*Q+EMR)/1Z                    TC2 453
    IF(PITCH,L1,1.570621752) GU TO 501            TC2 454
    IF(PITCH,G1,1.5706970858) GU TO 501            TC2 455
    UY(11)=P/2,-(UY(9)*SR+UY(10)*CR)/(2.+(Q*CR-R*SR))  TC2 456
    UY(12)=G*CR-R*SR                           TC2 457
    UY(13)=-P/2,-(UY(9)*SH+UY(10)*CH)/(2.+(Q*CR-R*SR))  TC2 458
    GU TO 504                           TC2 459
501 UY(11)=P+(G*SR+R*CR)*SP/CP                TC2 460
    UY(12)=Q*CR-R*SR                           TC2 461
    UY(13)=(G*SR+R*CR)/CP                      TC2 462
502 GU TO (600,802,304,806),WAY                 TC2 463
**** OUT PUT ****              TC2 464
600 JU=JU-1                           TC2 465
    IF(JU,EJ,U) GU TO 601            TC2 466
    IF(JU,NE>NN) GU TO 700            TC2 467
601 JU=KKK                           TC2 468
602 UP=P/PAI2                         TC2 469
    UU=Q*DEGREE                       TC2 470
    UR=R*DEGREE                       TC2 471
    OROLL=RROLL*DEGREE                TC2 472
    DPITCH=PIITCH*DEGREE              TC2 473
    OYAW=YAW*DEGREE                   TC2 474
    OYAW=OYAW+GU,J                   TC2 475
    ODU=UY(5)/GU                   TC2 476
    OUV=UY(6)/GU                   TC2 477
    OUD=UY(7)/GU                   TC2 478
    SIDE=SQR((UU**2+UDW**2)           TC2 479
    OUP=UY(8)*DEGREE                TC2 480
    ODU=UY(9)*DEGREE                TC2 481
    OUR=UY(10)*DEGREE                TC2 482
    OROLL=UY(11)*DEGREE                TC2 483
    OPIITC=UY(12)*DEGREE                TC2 484
    OUYAR=UY(13)*DEGREE                TC2 485
    OROLL=RROLL*DEGREE                TC2 486
    OALPHA=ALPHA*UEGEE                TC2 487
    WEIGHT=M*GU                      TC2 488
    DWIGHT=UY(1)*GU                  TC2 489
    OSETA=BETA*DEGREE                TC2 490
    IF(ISITE1,EJ,3) GU TO 680          TC2 491
    WRITE(6,610) T,VVV,SIDE,MACH,DOATU,OALPHA,EMP,EMQ,EHR,X,UY(2),TC2 492
    1UA,OP,UDP,U,OSETA,      MP1,MQ1,MK1,ABCDY,ABCUDY,VA,OO,ODQ,YY,G,MP2,TC2 493
    2MJ2,MK2,ABCJ2,ABCDU2,WA,UR,ODR,N,IX,MPS,MQ3,MR5,           TC2 494
    WRITE(6,611) U,ODU,VWH(1),OROLL,UDROLL,RHO,IY,FUAKO,MQ4,MR4,V,ODV1C2 495
    1,VWH(2),PIITCH,ODPITC,THRUST,IZ,FUSOKU,MQ5,MR5,W,ODW,VWH(3),OYAW, TC2 496
    ZUOYAH,WEIGHT,DWEISH                TC2 497
610 FORMAT(1UE12.4)                  TC2 498
611 FORMAT(1UE12.4)                  TC2 499
630 IF(IST,GT,1000) GU TO 700            TC2 500
    IF(ISITE1,EJ,1) GU TO 700            TC2 501
    IST=IST+1                          TC2 502
    PX(IST)=A                          TC2 503

```

```

PLV(IST)=VVA          TC2  504
PLW(IST)=MACH         TC2  505
PDV(IST)=ODU          TC2  506
PLYAW(IST)=UYAW        TC2  507
PLP(IST)=DOATU        TC2  508
PLPIT(IST)=UPITCH      TC2  509
PA(IST)=OALPHA        TC2  510
PL2(IST)=UBETA         TC2  511
PI(IST)=I              TC2  512
PZ(IST)=ABCDZ          TC2  513
PY(IST)=ABCUDY         TC2  514
**** FINISH TEST ****
700 IF(ABCDZ.LF,0.0) GO TO 701          TC2  515
715 IF(T.LT.1END) GO TO 800             TC2  516
701 WRITE(6,702)                      TC2  517
702 FORMAT(1H1,3X4HTIME6XHVLELOCITY4X3HVVA8X9HIDV+DWI/G5X4HHACH8X5HD0A1C2 518
1TU7XDHALPHAD8X2HMP10X2HMG1UX2HMR/          TC2  520
24X1HX10X2HDX10X2HUA10X1HP11X2HDPI0X4HDRAG8X4HBETAYX3HMP19X3HMG19X3TC2 521
3HMR1/   4X1HY10X2HDY10X2HVA10X1HQ11X2HDQ10X2HYY10X1HG12X3HMP29X3TC2 522
4HMQ29X3HMR2/   4X1H21UX2HDZ10X2HWA10X1HN11X2HUR10X1HN11X2HIX11TC2 523
5X3HMP39X3HMG39X3HMR3/   4X1HU10X2HDU10X4HVWB8X4HROLL8X5HUROLLTC2 524
67X3HRH09X2H1Y11X4HFUKU8X3HMQ49X3HMR4/   4X1HV10X2HDV10X4HVWB8X5HTC2 525
7PITCH7X6HDPITCH6X6HTHRUST6X2HIZ11X6HFUSOKU6X3HMQ59X3HMR5/   4X1HW1TC2 526
80X2HDW10X4HVWB8X3HYAH9X4HDYAH8X6HWEIGHT6X7HWEIGHT)          TC2  527
    WRITE(6,610) T,VVV,VVA,SIDE,MACH,DOATU,OALPHA,EMP,EMQ,EHR,X,DY(2),TC2 528
1UA,OP,ODH,D,G3ETA, MP1,MQ1,MR1,ABCDY,ABCUDY,VA,QQ,ODD,YY,G,MP2,TC2 529
2MU2,MR2,ABCDZ,ABCUDZ,WA,OR,ODR,NIX,MP3,MQ3,MR3,           TC2  530
    WRITE(6,611) U,OUU,VWB(1),OROLL,ODROLL,RHO,IY,FUAKO,MQ4,MR4,V,ODVTC2 531
1,VWB(2),UMICH,ODPITC,THRHUST,IZ,FUSOKU,MQ5,MRS,W,ODW,VWB(3),OYAW, TC2  532
2OYAW,WEIGHT,DWEIGH          TC2  533
703 IF(ISITE1.EQ.1) GO TO 1UUU          TC2  534
**** PLOT ROUTINE ****
I=1          TC2  535
782 IPP=IP(I)
IF(IPP.EQ.0) GO TO 781          TC2  536
DO 790 I=1,1002          TC2  537
    COM1(I)=U,U          TC2  538
    COM2(I)=U,U          TC2  539
    GU TO (721,722,723,724,725,726,727,728,729,730,731,732,733,734,735)TC2 540
1,736,737,738),1PP          TC2  541
721 ISYMBL=10H1IME-X          TC2  542
    I11=6          TC2  543
    IAIX1=10HTIME(S=C)          TC2  544
    IAIX2=10HX(M)          TC2  545
    I1=9          TC2  546
    I2=4          TC2  547
    DO 741 I=1,1002          TC2  548
    COM1(I)=P1(I)          TC2  549
    COM2(I)=P1(I)          TC2  550
    GU TO 780          TC2  551
722 ISYMBL=10H1IME-Y          TC2  552
    I11=6          TC2  553
    IAIX1=10H1IME(S=C)          TC2  554
    IAIX2=10HY(M)          TC2  555
    I1=9          TC2  556
    I2=4          TC2  557
    DO 742 I=1,1002          TC2  558
    COM1(I)=P1(I)          TC2  559
    COM2(I)=P2(I)          TC2  560
    GU TO 780          TC2  561
723 ISYMBL=10H1IME-Z          TC2  562
    I11=6          TC2  563
    IAIX1=10H1IME(SEC)          TC2  564
    IAIX2=10HZ(M)          TC2  565
    I1=9          TC2  566
    I2=4          TC2  567
    DO 743 I=1,1002          TC2  568
    COM1(I)=P1(I)          TC2  569
    COM2(I)=P1(I)          TC2  570
    GU TO 780          TC2  571
724 ISYMBL=10HTIME-JV          TC2  572
    I11=7          TC2  573
    IAIX1=10HTIME(SEC)          TC2  574
    IAIX2=10HUV(G)          TC2  575
    I1=9          TC2  576
    I2=5          TC2  577
    DO 744 I=1,1002          TC2  578
    COM1(I)=P1(I)          TC2  579
    COM2(I)=PUV(I)          TC2  580
    GU TO 780          TC2  581
725 ISYMBL=10HTIME-V          TC2  582
    I11=6          TC2  583
    IAIX1=10HTIME(SEC)          TC2  584
    IAIX2=10HV(M/SEC)          TC2  585

```

```

    I1=9          TC2  588
    I2=8          TC2  589
    DO 745 I=1,1002   TC2  590
    COM1(I)=PL(I)   TC2  591
745 COM2(I)=PLV(I)  TC2  592
    GO TO 780     TC2  593
726 ISYMBL=10H11Mc-MACH  TC2  594
    I1=9          TC2  595
    IAIx1=10H11ME(SEC)  TC2  596
    IAIx2=10HnMACH  TC2  597
    I1=9          TC2  598
    I2=4          TC2  599
    DO 746 I=1,1002   TC2  600
    COM1(I)=PL(I)   TC2  601
746 COM2(I)=PLW(I)  TC2  602
    GO TO 780     TC2  603
727 ISYMBL=10H11Mc-JDATU  TC2  604
    I1=10         TC2  605
    IAIx1=10H11ME(SEC)  TC2  606
    IAIx2=10HnU(TON/12)  TC2  607
    I1=9          TC2  608
    I2=9          TC2  609
    DO 747 I=1,1002   TC2  610
    COM1(I)=PL(I)   TC2  611
747 COM2(I)=PLP(I)  TC2  612
    GO TO 780     TC2  613
728 ISYMBL=10H11Mc-ALPHA  TC2  614
    I1=10         TC2  615
    IAIx1=10H11ME(SEC)  TC2  616
    IAIx2=10HnALPHA(DEG)  TC2  617
    I1=9          TC2  618
    I2=10         TC2  619
    DO 748 I=1,1002   TC2  620
    COM1(I)=PL(I)   TC2  621
748 COM2(I)=PLI(I)  TC2  622
    GO TO 783     TC2  623
729 ISYMBL=10H11ME-PITCH  TC2  624
    I1=10         TC2  625
    IAIx1=10H11ME(SEC)  TC2  626
    IAIx2=10HnPICH(DEG)  TC2  627
    I1=9          TC2  628
    I2=10         TC2  629
    DO 749 I=1,1002   TC2  630
    COM1(I)=PL(I)   TC2  631
749 COM2(I)=PLPII(I)  TC2  632
    GO TO 780     TC2  633
730 ISYMBL=10HZ-DY  TC2  634
    I1=4          TC2  635
    IAIx1=10HZV(G)  TC2  636
    IAIx2=10HZ(M)  TC2  637
    I1=5          TC2  638
    I2=4          TC2  639
    DO 750 I=1,1002   TC2  640
    COM2(I)=PL(I)   TC2  641
750 COM1(I)=PLV(I)  TC2  642
    GO TO 780     TC2  643
731 ISYMBL=10HZ-V  TC2  644
    I1=3          TC2  645
    IAIx1=10HZV(H/SEC)  TC2  646
    IAIx2=10HZ(H)  TC2  647
    I1=8          TC2  648
    I2=4          TC2  649
    DO 751 I=1,1002   TC2  650
    COM2(I)=PL(I)   TC2  651
751 COM1(I)=PLV(I)  TC2  652
    GO TO 780     TC2  653
732 ISYMBL=10HZ-MACH  TC2  654
    I1=6          TC2  655
    IAIx1=10HMACH  TC2  656
    IAIx2=10HZ(M)  TC2  657
    I1=4          TC2  658
    I2=4          TC2  659
    DO 752 I=1,1002   TC2  660
    COM2(I)=PL(I)   TC2  661
752 COM1(I)=PLW(I)  TC2  662
    GO TO 780     TC2  663
733 ISYMBL=10HZ-UDATU  TC2  664
    I1=7          TC2  665
    IAIx1=10HQ(TON/H2)  TC2  666
    IAIx2=10HZ(M)  TC2  667
    I1=9          TC2  668
    I2=4          TC2  669
    DO 753 I=1,1002   TC2  670
    COM2(I)=PL(I)   TC2  671

```

```

753 COM1(I)=PLP(I)
    GO TO 780
734 ISYMBL=10HX-Y
    I11=3
    IAIX1=10HX(M)
    IAIX2=10HY(M)
    I1=4
    I2=4
    DO 754 I=1,1002
    COM1(I)=PX(I)
754 COM2(I)=PY(I)
    GO TO 780
765 ISYMBL=10HY-Z
    I11=3
    IAIX1=10HY(M)
    IAIX2=10HZ(M)
    I1=4
    I2=4
    DO 755 I=1,1002
    COM1(I)=PX(I)
755 COM2(I)=PZ(I)
    GO TO 780
766 ISYMBL=10HZ-Z
    I11=3
    IAIX1=10HZ(M)
    IAIX2=10HY(M)
    I1=4
    I2=4
    DO 756 I=1,1002
    COM1(I)=PY(I)
756 COM2(I)=PZ(I)
    GO TO 760
737 ISYMBL=10HALPHA-BETA
    I11=10
    IAIX1=10H8cTA(D=G)
    IAIX2=10HALPHA(VEG)
    I1=9
    I2=10
    DO 757 I=1,1002
    COM2(I)=PA(I)
757 COM1(I)=PL2(I)
    GO TO 780

738 ISYMBL=10HPITCH-YAW
    I11=9
    IAIX1=10HYAW(DEG)
    IAIX2=10HPITCH(DEG)
    I1=8
    I2=10
    DU 758 I=1,1002
    COM2(I)=PLPIT(I)
758 COM1(I)=PLYAW(I)
780 CALL PLOTS(LABEL,0.)
    CALL SYMBL(P9,P10,P2,ISYMBL,H1,I11)
783 CALL SCALE(COM1,P13,IST,1)
    CALL SCALE(COM2,P10,IST,1)
    CALL AXIS(P5,P4,IAIX1,-11,P12,P1,COM1(IST+1),COM1(IST+2))
    CALL AXIS(P5,P4,IAIX2,I2,P10,P20,COM2(IST+1),COM2(IST+2))
    CALL PLOT(P5,P4,-13)
    CALL LINE(COM1,COM2,IST,1,I3,2M04)
    CALL PLOT(P19,-P4,-13)
    CALL PLOT
    CALL PLOT
781 IF(I,GE,17) GO TO 1000
    I=I+1
    GO TO 782
**** RUNGE-KUTTA,GILL METHOD ****
800 DU 801 I=1,13
    RKG1=H*D(Y(I))
    RKG2=0.5*RKG1-R(G3(I))
    RKG3(I)=RKG3(I)+3.0*RKG2-0.5*RKG1
801 Y(I)=Y(I)+RKG2
    TT=T+U.2*M
    T=T+U.2*M
    WAY=2
    GO TO 400
802 DO 803 I=1,13
    RKG1=H*D(Y(I))
    RKG2=0.2928932*(RKG1-RKG3(I))
    RKG3(I)=RKG3(I)+3.0*RKG2-0.2928932*RKG1
803 Y(I)=Y(I)+RKG2
    WAY=3
    GO TO 400
804 DU 805 I=1,13

```

```

RKG1=H*DY(1)          TC2  754
RKG2=1.7U71U7*(RKG1-RKG3(1))  TC2  755
RKG3(1)=RKG3(1)+3.0*RKG2-1.7U71U7*RKG1  TC2  756
805 Y(I)=Y(I)+RKG2  TC2  757
    T=T+U.5*M  TC2  758
    T=T+U.5*M  TC2  759
    WAY=4  TC2  760
    GO TO 400  TC2  761
806 DO BU? I=1,10  TC2  762
    RKG1=H*DY(1)  TC2  763
    RKG2=(RKG1-2.0*RKG3(I))/0.0  TC2  764
    RKG3(I)=RKG3(I)+3.0*RKG2-U.5*RKG1  TC2  765
807 Y(I)=Y(I)+RKG2  TC2  766
    GO TO 300  TC2  767
    END  TC2  768

```

TM-132 行列の最小固有値の一計算法	1968年5月 戸川隼人, 戸川保子
TM-133 フィラメント・ワインディング円筒の強度特性に関する研究	1968年5月 竹中幸彦, 斎藤浩一 古田敏康, 川島矩郎 三本木茂夫, 小川鉄一 越出慎一, 朝田洋雄 態倉郁夫, 大竹邦彦
TM-134 AGARD 標準模型 HB-1, HB-2 の超音速風洞試験	1968年5月 斎藤秀夫, 石原久藏 石原亘利, 野田順一 関根英夫
TM-135 歪ゲージの自己加熱による歪ドリフト	1968年5月 小川鉄一, 遠藤修司
TM-136 "NAL-16・31" および "NAL-25・31" 二段ロケット結合部の曲げ剛性試験	1968年5月 中井嘆一, 飯田宗四郎 高木俊朗, 安藤泰勝 菊地孝男
TM-137 ロケットの三次元の運動の方程式および HITAC 5020 による軌道計算のためのプログラム	1968年5月 毛利 浩
TM-138 片持板の振動解析に関する考察	1968年6月 塙武敏, 越出慎一 林洋一
TM-139 薄板構造の疲れき裂伝ば実験	1968年6月 竹内和之, 野原利雄 飯田宗四郎
TM-140 二次元スラットおよびスロッテッドフラップの実験的研究 (II)	1968年7月 犬丸矩夫, 北村清美
TM-141 超音速二次元翼列予備実験風洞について	1968年7月 近藤博, 坂口一 八山優, 高森晋
TM-142 二次元スラットおよびスロッテッドフラップの実験的研究 (III)	1968年7月 犬丸矩夫, 高橋伴
TM-143 端面一体巻きフィラメント・ワインディング容器の静圧強度および疲れ強度	1968年8月 竹中幸彦, 朝田洋雄 野口義男
TM-144 真ひずみ計の試作	1968年8月 竹中幸彦, 朝田洋雄 野口義男

注：欠番は配布先を限定したもの

## 航空宇宙技術研究所資料145号

昭和43年8月発行

発行所 航空宇宙技術研究所

東京都調布市深大寺町1880

電話武藏野三鷹(0422)44-9171(代表) 182

印刷所 一誠社総合印刷株式会社

東京都武藏野市御殿山1-6-10

